

Identification des deux espèces jumelles *Beryx mollis* Abe 1959 et *B. splendens* Lowe 1834, à l'aide de caractères morphologiques et méristiques simples ¹

Philippe Borsa ^{2,*}, Seiji Akimoto ³, Aude Pasco ⁴, Manina Tehei ², Shugo Watabe⁵

¹ Rapport d'opération ZoNéCo 2007/10 (assemblée générale du comité de pilotage de ZoNéCo, 06 décembre 2006)

² Institut de recherche pour le développement, UR 128 – UR 227, Nouméa, Nouvelle-Calédonie

³ Kanagawa Prefectural Fisheries Research Institute, Jogashima, Miura, Kanagawa 238-0237, Japon

⁴ Contrat ADéCal / ZoNéCo, Nouméa, Nouvelle-Calédonie

⁵ Laboratory of Aquatic Molecular Biology and Biotechnology, Graduate School of Agricultural and Life Sciences, University of Tokyo, Bunkyo, Tokyo 113-8657, Japon

* Correspondance : philippe.borsa@ird.fr

Sommaire

Résumé	5
Abstract	5
1 Introduction	6
2 Matériels et méthodes	7
2.1 <i>Echantillonnage...</i>	7
2.2 <i>Acquisition des données morphologiques et méristiques</i>	8
2.3 <i>Analyse des données</i>	8
3 Résultats	8
3.1 <i>Mesures morphologiques</i>	8
3.2 <i>Méristique</i>	8
3.3 <i>Analyse discriminante</i>	9
4 Discussion	9
Remerciements	31
Références bibliographiques	31

Résumé

Identification des deux espèces jumelles Beryx mollis Abe 1959 et B. splendens Lowe 1834 à l'aide de caractères morphologiques et méristiques simples – Deux espèces jumelles, *Beryx mollis* et *B. splendens*, sont les principales espèces-cibles potentielles d'une pêche palangrière profonde dans la ZEE de Nouvelle-Calédonie. Deux jeux de données morphologiques et méristiques (l'un, néo-calédonien et l'autre, japonais) ont été acquis sur des spécimens de ces deux espèces, identifiés soit à partir du nombre de caeca pyloriques (qui permet de discriminer totalement les deux espèces), soit à l'aide de marqueurs génétiques, soit a posteriori par regroupement visuel sur le graphique issu d'une analyse en composantes principales (ACP). Quatre variables morphologiques ont été mesurées (hauteur du corps, longueur de la tête, longueur du museau, diamètre orbital) et rapportées à la longueur standard. Aucune de ces variables morphologiques, soit seule, soit en combinaison avec une seconde variable morphologique, ne permet une discrimination suffisante entre les deux espèces. Une ACP sur les quatre variables morphologiques aboutit à un résultat légèrement meilleur, mais toujours insuffisant. Six variables méristiques ont été utilisées (nombres de rayons mous des nageoires dorsale, pectorale, pelvienne et anale, ainsi que le nombre de branchiospines sur la moitié inférieure du premier arc branchial et le nombre d'écaillés sur la ligne latérale). Cinq de ces caractères méristiques (tous, sauf le nombre d'écaillés de la ligne latérale) permettent de distinguer, statistiquement, les deux espèces. Cependant, aucun de ces caractères, pris un à un, n'est diagnostique et la combinaison de deux caractères donne des résultats à peine meilleurs. Nous avons procédé à une analyse canonique discriminante afin de déterminer les caractères méristiques à utiliser en priorité pour l'identification du poisson : ceux-ci s'avèrent être le nombre de rayons mous des nageoires dorsale, pectorale et pelvienne ainsi que le nombre de branchiospines. D'un point de vue pratique, si le poisson est éviscéré ou fileté, il suffit de compter le nombre de caeca pyloriques pour l'identifier à l'espèce. Si le poisson est préservé entier avant la vente, il convient de mesurer les nombres de rayons sur les nageoires dorsale, pectorale et pelvienne et d'utiliser la combinatoire de ces trois variables.

Abstract

Identification of two sibling species of alfoncino, Beryx mollis Abe 1959 and B. splendens Lowe 1834, using simple morphological and meristic measurements – Two sibling species, *Beryx mollis* and *B. splendens*, are potentially the main fish species of commercial interest for a bottom-line fishery in the deep waters of New Caledonia's EEZ. Two datasets, morphological and meristic (one from Japan, the other one from New Caledonia) were obtained from specimen samples of the two species, which were species-identified by either the number of pyloric caeca (which allows total discrimination of the two species), or DNA markers, or a posteriori by the outcome of principal component analysis (PCA). Four morphological variables were measured (body height, head length, snout length, orbit diameter) and transformed to take standard length into account. None of these morphological variables, either single or combined to another, allowed sufficient discrimination between the two species. PCA on the four morphological variables led to a slightly better result, but still insufficient. Six meristic variables were utilized (numbers of soft rays in the dorsal, pectoral, pelvic, and anal fins, number of branchiospines on the lower half of the first branchial arch, number of scales on the lateral line). All these variables except the number of scales on the lateral line, proved useful to statistically distinguish the two species. However, none was diagnostic when taken separately from the other variables and the combination of two variables was only slightly better for this purpose. Canonical discriminant analysis helped determine which meristic characters could be used in priority to identify individuals: these were the numbers of soft rays on the dorsal, pectoral, and pelvic fins, and the number of branchiospines. In practice, if the fish is disembowelled or filleted, it takes only counting the number of pyloric caeca for identification to species. If the fish is preserved whole before being marketed, then we recommend to count the numbers of soft rays on the dorsal, pectoral, and pelvic fins for a reasonably reliable identification.

1 Introduction

Les campagnes d'exploration des ressources marines profondes de la zone économique exclusive de la Nouvelle-Calédonie ont mis en évidence des concentrations commercialement exploitables de béryx (Lehodey 1994 ; Lehodey & Grandperrin 1994 ; Grandperrin et al. 1995 ; Grandperrin et al. 1997 ; Levy 2002 ; Chavance 2006). Dans l'éventualité d'une reprise de la pêche commerciale du béryx à l'aide de méthodes non destructrices (pêche à la palangre), une gestion rationnelle doit être envisagée afin de maintenir la ressource à un niveau compatible avec son exploitation durable. Pour mettre en place une bonne gestion des ressources halieutiques, il s'avère nécessaire, au préalable, d'identifier les stocks susceptibles d'être affectés par la pêche.

Le genre *Beryx* comprend trois espèces (Froese & Pauly 2007) : *Beryx decadactylus* Cuvier & Valenciennes 1829, *Beryx mollis* Abe 1959 et *Beryx splendens* Lowe 1834. Les adultes de *B. decadactylus* et *B. splendens* sont présents sur les pentes (200 – 1300 m) des continents et des monts sous-marins (Lehodey & Grandperrin 1996 ; Creasey & Rogers 1999 ; Froese & Pauly 2007), et leur distribution s'étend de l'équateur aux latitudes subtropicales à tempérées des trois océans, à l'exception du Pacifique nord-est (Froese & Pauly 2007). La troisième espèce, *B. mollis*, a été décrite tardivement à partir de spécimens pêchés dans les eaux japonaises (Abe 1959). Cette espèce a longtemps été considérée comme synonyme de *B. splendens* (Woods & Sonoda 1973 ; Shimizu 1983 ; Yamakawa 1985 ; Heemstra 1986), peut-être à cause du fait qu'il est difficile de la distinguer de cette dernière sur la base des seuls caractères externes mentionnés par Abe (1959). En effet, aucun des caractères distinctifs utilisés par Abe (1959) ne s'avère être entièrement diagnostique entre les deux espèces, bien que cet auteur ait mentionné le nombre de caeca pyloriques d'un des deux paratypes. Il est possible que le nombre de caeca pyloriques n'ait pu être mesuré sur l'holotype de *B. splendens*, conservé empaillé (Eschmeyer 1998) et il ne l'a pas été sur l'holotype de *B. mollis* (Abe 1959). Cependant, les caeca pyloriques, qui sont comptés après dissection, permettent de distinguer l'une de l'autre les trois espèces du genre *Beryx* sans ambiguïté (Yoshino et al. 1999) et en particulier, les deux espèces-sœurs *B. mollis* et *B. splendens* (Tableau 1). Ces différences dans la morphologie du tractus digestif suggèrent que les régimes alimentaires de ces deux espèces sont différents, bien qu'elles soient sympatriques sur une partie de leur aire de répartition (Fig. 1). L'absence de forme intermédiaire dans le nombre de caeca pyloriques indique que les deux espèces ne s'hybrident pas. Il est intrigant de voir que cette information déterminante ait été ignorée par les auteurs mentionnés ci-dessus, y compris par Heemstra (1986) dont le livre est pourtant considéré comme une référence dans le petit monde de l'ichtyologie.

Comme le montrent les résultats des analyses génétiques (Hoarau et al. 1999 ; P. Borsa & G. Hoarau, non publié), *B. mollis* a été capturé en proportions sensiblement égales à *B. splendens* lors des pêches expérimentales à la palangre des campagnes HALICAL 1 (Grandperrin et al. 1995) et CHONDRICAL (Girard 2002) menées dans le Nord de la Nouvelle-Calédonie et dans l'archipel des Loyauté. *B. mollis* est une espèce prisée des consommateurs japonais, tout autant que *B. splendens* (Akimoto et al. 2002). La pêcherie palangrière, si elle reprend dans les eaux calédoniennes, risque d'impacter les populations de *B. mollis* au même titre que *B. splendens* : il conviendrait d'en tenir compte en séparant les statistiques de pêches par espèce.

A partir d'échantillons récoltés dans les eaux calédoniennes analysés à l'aide de marqueurs génétiques nucléaires, nous avons pu démontrer l'isolement reproductif de *B. mollis* vis-à-vis de *B. splendens* et ainsi valider son statut d'espèce biologique séparée (Hoarau & Borsa 2000 ; Akimoto et al. 2006 ; P. Borsa et G.

Hoarau, données non publiées). Bien que les marqueurs moléculaires permettent désormais l'identification en routine des espèces chez les poissons marins (Ward et al. 2005), l'analyse morphométrique – morphologie et méristique – demeure un outil intéressant, simple et peu coûteux, pour différencier les espèces proches au sein d'un même genre (p. ex. Chabanaud 1929 ; Bembo et al. 1996 ; Borsa et al. 2004 ; Ibáñez-Aguirre et al. 2006). Note : les travaux de Bembo et al. (1996) sur l'anchois de l'Adriatique (*Engraulis encrasicolus*) et Ibáñez-Aguirre et al. (2006) sur le mullet kuréma (*Mugil curema*), cités ici, avaient pour objectif de distinguer des stocks différents de ces espèces respectives à l'aide d'analyses morphométriques. Il s'est avéré par la suite que ces travaux concernaient des espèces jumelles et non des populations au sein d'une espèce (Borsa 2002 ; Borsa et al. 2004 ; J.-D. Durand comm. pers.).

Les objectifs du présent travail sont : (1) décrire la variabilité morphologique et méristique des deux espèces jumelles *B. mollis* et *B. splendens* ; (2) mettre en évidence, à l'aide d'une analyse discriminante, les caractères morphologiques et méristiques simples et universels le plus discriminants possibles entre les deux espèces. Ceux-ci doivent permettre, seuls ou combinés, d'identifier les individus à l'espèce avec une fiabilité maximale. Il s'agit de pouvoir réaliser des identifications dès la capture des poissons, pour évaluer ensuite la part relative de chacune des deux espèces dans les prises. Pour cela, deux jeux de données ont été utilisés, correspondant à des spécimens échantillonnés, les uns en Nouvelle-Calédonie lors de campagnes récentes des navires *Alis* et *Opéra*, les autres dans les eaux japonaises (Abe 1959 ; Yoshino et al. 1999 ; S. Akimoto et S. Watabe non publié).

2 Matériel et méthodes

2.1 Echantillonnage

L'échantillon de béryx de Nouvelle-Calédonie comprend 104 individus (9 *B. mollis* et 95 *B. splendens*) capturés lors des campagnes CHONDRICAL de l'*Alis* (Girard 2002), OPERA 11 et OPERA 12, et d'autres campagnes du chalutier *Opéra* (Levy 2002) qui ont eu lieu dans la zone économique de la Nouvelle-Calédonie entre janvier 2002 et juin 2002, ainsi que lors de la campagne NORFOLK 2 de l'*Alis*, d'exploration de la faune benthique des monts sous-marins de la ride de Norfolk dans la mer de Corail (Anonyme 2006). Différentes techniques de pêche ont été utilisées : palangres de profondeur durant la campagne CHONDRICAL, chalut à panneaux lors des campagnes OPERA 11 et OPERA 12 et drague Waren lors de la campagne NORFOLK 2. Un spécimen adulte de chacune des deux espèces est présenté Fig. 2. Un juvénile de *B. mollis* est présenté Fig. 3. Parmi les spécimens analysés de Nouvelle-Calédonie, 9 *Beryx mollis* et 11 *B. splendens* ont été déposés comme témoins au Muséum national d'histoire naturelle (MNHN, Paris) sous les numéros de collection MNHN 2003-1234 à 1243 et MNHN 2005-1948 à 1957 (Tableau 2). Un second échantillon consiste en 20 *Beryx mollis* et 29 *B. splendens* récoltés à la palangre de fond dans les eaux japonaises. La liste de l'ensemble des individus échantillonnés pour la présente étude est présentée au Tableau 2.

Les spécimens de Nouvelle-Calédonie, dont une partie consistaient en des carcasses après qu'avaient été prélevés les filets (Tableau 2 : « carcasses »), ont été congelés à -20°C et décongelés entre un an et trois ans après pour dissection et mesures. Les 10 spécimens capturés lors de la campagne CHONDRICAL (Tableau 2) ont été mesurés après leur préservation dans le formol, puis l'alcool éthylique.

Une proportion des individus de Nouvelle-Calédonie et tous les individus japonais ont été caractérisés génétiquement par leur séquence nucléotidique au locus mitochondrial du gène du cytochrome *b* (Akimoto et al. 2006 ; P. Borsa et G. Hoarau, données non publiées). Les séquences nucléotidiques d'une partie de ces individus ont été déposées dans GENBANK (numéros d'accèsion : AB192551-565, AY328407-412).

2.2 Acquisition des données morphologiques et méristiques

Différentes mesures morphologiques (Fig. 4) ont été effectuées, au millimètre près, sur une partie des spécimens (Tableau 2), à l'aide d'une règle graduée et d'un calibre à coulisse. La longueur standard a généralement été mesurée au demi-centimètre près. Méristique : nous avons également compté les rayons des nageoires et les écailles de la ligne latérale (Tableau 2) ; enfin, le nombre de branchiospines sur la moitié inférieure de l'arc branchial et le nombre de caeca pyloriques ont été comptés sur une partie des individus après dissection. (Tableau 2). Les données méristiques sur l'holotype de *B. mollis* (Abe 1959) et sur les échantillons de *B. mollis* et *B. splendens* analysés par Yoshino et al. (1999) ont également été utilisées dans nos analyses.

2.3 Analyse des données

La saisie des données a été faite sous WINDOWS EXCEL (Microsoft Corporation, Redmond WA). L'analyse des données comprend des tests univariés ou bivariés simples effectués à l'aide des logiciels STATISTICA (Statsoft 2001) (Kallianiotis et al. 2004 ; Ferrito et al. 2007) et R (<http://cran.r-project.org/> ; Ihaka & Gentleman 1996). L'analyse en composantes principales (ACP) portant sur des matrices individus x caractères a été réalisée à l'aide des logiciels VISTA 7.9.2.5 (<http://www.uv.es/visualstats/> ; Young et al. 2006) ou STATISTICA. Le but de l'ACP, dont le principe a été formulé par Pearson (1901), est d'extraire le maximum de variance d'un nuage de points dans un espace multi-dimensionnel en transformant des variables statistiquement corrélées en de nouvelles variables orthogonales les unes des autres, donc non corrélées, qui en soient des combinaisons linéaires (Jolliffe 2002). Ce traitement permet de compresser l'information multidimensionnelle en la réduisant à celle portée par les premiers axes de l'analyse, qu'il est aisé de présenter de façon simple (le cerveau d'un humain normalement constitué ayant du mal à concevoir un objet de dimension >3). Les graphiques ont été obtenus à l'aide des logiciels EXCEL, R, VISTA ou STATISTICA et ont été repris sous ADOBE ILLUSTRATOR (Adobe Systems, Mountain View, CA). Après que deux groupes distincts ont été définis par représentation graphique à l'aide des ACP sur les variables méristiques, nous avons procédé à une analyse factorielle discriminante descriptive ou canonique (AFD). L'AFD est une technique de classification des variables qui recherche les corrélations linéaires entre la variable qualitative à expliquer (ici, l'espèce) et un groupe de variables quantitatives explicatives (Khelil 2000). La qualité de la discrimination est évaluée par l'estimation du Lambda de Wilk, ainsi que par un test de F mesurant la contribution des variables à la discrimination. Dans le cas présent, l'AFD doit non seulement permettre d'établir la nature des différences entre les deux espèces de *Beryx* mais aussi de déterminer quelles sont les variables qui discriminent au mieux les deux espèces (Jerry & Cairns 1998). L'AFD a été faite selon la méthode dite « standard » proposée par le logiciel STATISTICA, qui consiste à entrer dans le modèle simultanément toutes les variables sélectionnées.

3 Résultats

3.1 Mesures morphologiques

Les distributions des longueurs sont synthétisées en Fig. 5. Le juvénile de *B. mollis* échantillonné sur la Ride de Norfolk durant la campagne NORFOLK 2 (individu n° 94 ; Tableau 2), de longueur $SL = 144$ mm, était clairement un *outlier* dans l'échantillon de cette espèce en Nouvelle-Calédonie [test de Dixon pour la détection d'*outliers* (Sokal & Rohlf 1969) : $Q = 0.503$; $N = 9$; $P < 0.05$]. Idem, le *B. mollis* n° 113 dans l'échantillon du Japon, de longueur $SL = 160$ mm ($Q = 0.518$; $N = 21$; $P < 0.05$). Ces deux échantillons ne figurent pas dans les distributions présentées en Fig. 5. Le fait que l'*outlier* en longueur n° 94 apparaisse aussi comme *outlier* dans les distributions des individus en fonction de leur morphologie (Fig. 6) indique une allométrie de croissance.

Les longueurs standard des *B. splendens* ($N = 95$) ont tendance à être supérieures à celles des *B. mollis* ($N = 7$) dans l'échantillon de Nouvelle-Calédonie. C'est l'inverse dans l'échantillon du Japon ($N = 29$ *B. splendens* et $N = 20$ *B. mollis*). Les distributions sont semblables dans l'échantillon total ($N = 124$ *B. splendens* et $N = 26$ *B. mollis*). De ce fait, nous avons considéré que malgré l'allométrie de croissance, il était censé de comparer les distributions des valeurs pour les variables morphologiques entre les deux espèces. .

Les variables morphologiques, rapportées à la SL après transformation $\arcsin\sqrt{\quad}$, ont une distribution relativement symétrique autour de la médiane, au moins chez *B. splendens* (Fig. 6), mais les tests de normalité montrent des écarts significatifs pour les variables TMUS et TLT (Tableau 3). Ce sont néanmoins ces deux variables qui différencient le mieux *B. splendens* de *B. mollis* (Fig. 6 ; Tableau 4). Prises une à une, trois des quatre variables morphologiques utilisées dans ce travail (hauteur du corps, longueur de la tête, longueur du museau) montrent des différences statistiquement significatives entre les deux espèces ; aucune différence n'a été détectée pour la quatrième, le diamètre orbital. Une ACP sur les données morphologiques montre deux nuages de points incomplètement séparés (Fig. 7). La distinction entre les deux espèces, à partir des variables morphologiques prises deux à deux, s'avère insuffisante (Fig. 8) y compris dans le cas des deux variables TMUS et TLT.

3.2 Méristique

Les distributions des six caractères méristiques mesurés chez *B. mollis* et *B. splendens* sont présentées sous la forme de diagrammes en bâtons (Fig. 9). Pour cela, nous avons concaténé les jeux de données néo-calédonien et japonais, auxquels ont été ajoutées les données de Yoshino et al. (1999). Les variables méristiques ne sont pas distribuées normalement, sauf, peut-être, le nombre d'écailles sur la ligne latérale (Tableau 5). Les distributions sont significativement différentes entre les deux espèces pour les variables DFs , PF , pFs , AFs et GR , alors qu'aucune différence n'est apparente dans le comptage des écailles de la ligne latérale (Tableau 4). Une ACP sur les cinq variables méristiques montrant des différences significatives entre les deux espèces permet de distinguer deux nuages de points totalement disjoints. La projection des points sur le plan principal de l'ACP est présentée Fig. 10. Il faut signaler que le léger chevauchement des deux nuages de points visible sur la Fig. 10D ne correspond pas à des individus identiques du point de vue des caractères méristiques, mais à une superposition artéfactuelle. L'axe 3 de l'ACP (non représenté) montre bien deux nuages de points distincts. Néanmoins, les variables méristiques, prises deux à deux, ne permettent pas de séparer complètement les deux espèces (Fig. 11).

3.3 Analyse discriminante

Nous cherchons à déterminer la meilleure combinaison possible des cinq variables méristiques montrant des différences entre *B. mollis* et *B. splendens*, pour la discriminer des deux espèces. Les valeurs du Lambda de Wilk sont relativement faibles pour l'ensemble de l'analyse, ainsi que pour chacune des variables (Tableau 6). Ceci tend à indiquer qu'il y a de fortes différences entre les deux espèces. Les valeurs de F correspondantes sont hautement significatives pour les variables *DFS*, *PF*, *PFS* et *GR* (Tableau 6). Les valeurs de lambda et de F pour la variable *AFS* apparaissent comme un peu faibles pour considérer cette variable comme discriminante.

4 Discussion

Les deux espèces *Beryx mollis* et *B. splendens* sont séparées depuis des millions d'années (Hoarau & Borsa 2000) et aucun hybride entre les deux espèces n'a été détecté à ce jour (Hoarau & Borsa 2000 ; P. Borsa et G. Hoarau, non publié). Ces deux espèces étant simultanément présentes, en proportions variables selon le type de pêche et / ou le site de pêche, dans les captures faites dans la ZEE de Nouvelle-Calédonie, il paraît utile de déterminer quels caractères morphologiques ou méristiques simples permettent de les distinguer à bord des navires de pêche. Par « caractères simples », nous entendons : qui peuvent être mesurés à l'œil nu. Le nombre de caeca pyloriques permet de distinguer sans équivoque les deux espèces, et on peut tout à fait envisager d'utiliser ce caractère au cas où les poissons sont filetés ou vidés : il suffit alors d'examiner les viscères de chaque individu. De même, cinq des six caractères méristiques mesurés au cours du présent travail (nombre de rayons mous sur les nageoires dorsale, pectorale, pelvienne et anale et nombre de branchiospines sur le premier arc branchial inférieur) sont statistiquement très différentes entre les deux espèces, alors que le nombre d'écaillés de la ligne latérale ne montre pas de différence significative. Cependant, aucun de ces caractères (hormis le nombre de caeca pyloriques) ne montre une distribution totalement disjointe entre les deux espèces.

Une analyse discriminante permet de désigner quatre variables méristiques supplémentaires (*DFS*, *PF*, *pFS* et *GR*) pour la distinction des deux espèces. La mesure de l'une d'elles (*GR*) nécessite une dissection partielle du poisson, ce qui peut se concevoir à bord du navire ou au retour dans une usine de conditionnement du poisson si celui-ci est découpé en filets : il suffirait alors d'examiner les branchies sur les carcasses, mais dans ce cas, nous préconisons d'utiliser plutôt le nombre de caeca pyloriques comme marqueur d'espèce. Au cas où seul l'accès aux caractères méristiques externes est possible, nous préconisons de dénombrer les rayons mous sur les nageoires dorsale, pectorale et pelvienne pour l'identification à l'espèce, sachant qu'avec cette approche, il subsistera néanmoins une petite proportion d'individus non déterminés.

Remerciements – Une partie des spécimens utilisés pour le présent travail ont été capturés lors des campagnes CHONDRICAL et NORFOLK 2 du N.O. *Alis* et OPERA 12 et OPERA 13 du chalutier *Opéra*, affrété par ZoNéCo. Nous remercions J.-F. Barazer, commandant de l'*Opéra*, ainsi que la cellule des ressources vivantes de ZoNéCo pour avoir permis l'embarquement de PB à la campagne OPERA 12. Nous remercions B. Richer de Forges (IRD) pour la préservation des spécimens de Berycidae capturés au chalut à perche lors de la campagne NORFOLK 2, ainsi que B. Séret (IRD), chef de la mission CHONDRICAL, pour sa collaboration à la capture de béryx. Les spécimens récoltés lors de CHONDRICAL ont été déposés dans les collections du MNHN (Paris) : merci à N. Bailly, R. Causse, G. Duhamel et P. Pruvost du laboratoire d'Ichtyologie du MNHN pour leur aide. Nous remercions P. Chavance, M. Ducrocq et A. Rivaton (ZoNéCo, ADéCal) pour leur patience et leur soutien. Enfin, c'est à R. Grandperrin que

nous devons d'avoir pu initier nos recherches sur le béryx en Nouvelle-Calédonie. Financement des échantillonnages : IRD et ZoNéCo ; contrat d'ingénieur pour AP : ADéCal. MT a travaillé au centre IRD de Nouméa à l'occasion d'un stage informel, sous la responsabilité de PB. Les contributions des co-auteurs sont indiquées ci-après. Conception du projet : PB, en concertation avec SA et SW ; échantillonnage : SA, PB ; acquisition des données : SA, PB, MT ; analyse des données : PB, AP, MT ; interprétation des données et rédaction du présent rapport : PB. Ceci est une contribution de l'unité de recherche CoReUs (UR 227 – IRD).

Références bibliographiques

- Abe T. 1959. New, rare or uncommon fishes from Japanese waters. VII. Description of a new species of *Beryx*. Japanese Journal of Ichthyology 7, 157-163.
- Akimoto S., Itoi S., Sezaki S., Borsa P., Watabe S. 2006. Identification of alfonso Beryx species collected in Japan based on the mitochondrial cytochrome b gene and their comparison with those collected in New Caledonia. Fisheries Science 72, 202-207.
- Anonyme 2006. Une multitude de petits écosystèmes dans l'obscurité des profondeurs. Sciences au Sud 33, 7.
- Chabanaud, P. 1929. Observations sur la taxonomie, la morphologie et la bionomie des Soléidés du genre *Pegusa*. Ann. Inst. Oceanogr. 7: 215-261.
- Chavance P. 2006. Etat des connaissances sur les îles et récifs éloignés de la Nouvelle- Calédonie. ZoNéCo, Nouméa, 28pp.
- Ferrito V., Mannino M. C., Pappalardo A. M., Tigano C. 2007. -Morphological variation among populations of *Aphanius fasciatus* Nardo, 1827 (Teleostei, Cyprinodontidae) from the Mediterranean. Journal of Fish biology 70, 1-20.
- Girard H. 2002. Deux nouvelles espèces de requins découvertes par l'IRD. Nouvelles Calédoniennes 9276, 10.
- Grandperrin R., Bargibant G., Menou J. L. 1995. -Campagne HALICAL 1 de pêche à la palangre de fond dans le Nord et sur la rive des Loyauté, en Nouvelle-Calédonie. Conventions Sciences de la Mer Biologie Marine, ORSTOM, Nouméa 12, 1-67.
- Grandperrin R., Farman R., Lorance P., Jomessy T., Hamei P., Laboute P., Labrosse P., Richer de Forges B., Séré B., Virly S. 1997. -Campagne HALIPRO 2 de chalutages exploratoires profonds dans le sud de la zone économique de Nouvelle-Calédonie (R.V. tangaroa, 4-28 Novembre 1996). Programme ZoNéCo d'évaluation des ressources marine de la zone économique de Nouvelle-Calédonie, Nouméa 150 pp.
- Heemstra P.C. 1986. Berycidae, in: Smith M.M., Heemstra P.C. (eds.) Smith's sea fishes. Springer Verlag, Berlin, pp. 409-410.
- Hoarau G., Borsa P. 2000. - Extensive gene flow within sibling species in the deep-sea fish *Beryx splendens*. Comptes Rendus de l'Académie des Sciences Série III 323, 315-325.
- Lehodey P., Grandperrin R., Marchal P. 1997. Reproductive biology and ecology of a deep-demersal fish, alfonso *Beryx splendens*, over the seamounts off New Caledonia. Marine Biology 128, 17-27.
- Lehodey P., Grandperrin R. 1994. A study of the fishery and biology of *Beryx splendens* (alfonso) in New Caledonia. Fisheries Newsletter 71, 30-36.
- Lehodey P., Grandperrin R. 1996. Age and growth of the alfonso *Beryx splendens* over the seamounts off New Caledonia. Marine Biology 125, 249-258.
- Hoarau G., Borsa P. 2000. Extensive gene flow within sibling species in the deep-sea fish *Beryx splendens*. Comptes Rendus de l'Académie des Sciences Série III 323, 315-325.
- Hoarau G., Borsa P., Bonhomme F., Grandperrin R. 1999. Génétique des populations de *Beryx splendens* de la zone économique de la Nouvelle-Calédonie : distribution des haplotypes du gène du cytochrome b de l'ADN mitochondrial et analyse phylogénétique de leurs séquences. Documents Scientifiques et Techniques (IRD, Noumea), Série II 1, 1-39.
- Ihaka R., Gentleman R 1996. R: a language for data analysis and graphics. Journal of Computational and Graphical Statistics 5, 299-314.
- Jerry D.R., Cairns S.C. 1998. Morphological variation in the catadromous Australian bass from seven geographically distinct riverine drainages. Journal of Fish Biology 52, 829-843.
- Jolliffe I.T. 2002. Principal component analysis. Springer-Verlag, New York.
- Kallianiotis A., Vidoris P., Sylaios G. 2004. Fish species assemblages and geographical sub-areas in the North Aegean Sea, Greece. Fisheries Research 68, 171-187.
- Khelil E.H.-B. h. 2000. Utilisation de l'analyse canonique discriminante dans la recherche des caractères morphologiques les plus discriminants chez deux espèces du genre *Synisoma* (Crustacea, Isopoda, Valvifera). Annales des Sciences Naturelles 21, 1-9.
- Lehodey P. 1994. Les monts sous-marins de Nouvelles- Calédonie et leurs ressources halieutiques. Thèse de doctorat, Université Française du Pacifique, Papeete 401 pp.
- Lehodey P., Grandperrin R. 1994. A study of the fishery and biology of *Beryx splendens* (alfonso) in New Caledonia. Fisheries Newsletters 71, 30-36.
- Levy L. 2002. Rapports de mission des campagnes OPERA 5, 6, 13 d'exploration halieutique de la ZEE de Nouvelle- Calédonie. Congrès de Nouvelle-Calédonie, Nouméa.

- Pearson K. 1901. On lines and planes of closest fit to systems of points in space. *Philosophical Magazine* 2, 559–572.
- Royston P. 1982. An extension of Shapiro and Wilk's W test for normality to large samples. *Applied Statistics* 31, 115–124.
- Shimizu T. 1983. Berycidae. In Fischer, W. and Bianchi, G. eds. FAO species identification sheets for fisheries purposes—Western Indian Ocean. Fishing area 51, Vol. 1, FAO, Rome, pp. "BER" to "BER Ber 2".
- Sokal R.R., Rohlf F.J. 1969. *Biometry: the principles and practice of statistic in biological research*. W.H. Freeman and Co., San Francisco CA.
- Statsoft 2001. *Statistica for Windows*, release 5.5. Statsoft Inc., Tulsa OK.
- Ward R.D., Zemlak T.S., Innes B.H., Last P.R., Hebert P.D.N. 2005. DNA barcoding Australia's fish species. *Philosophical Transactions of the Royal Society B* 360, 1847-1857.
- Yamakawa T. 1985. Kinmedai, *Beryx splendens* Lowe. In Okamura, O. ed. *Fishes of the Okinawa Trough and the adjacent waters*. II. Japan Fish. Res. Conserv. Assoc, Tokyo, 426 and 649.
- Woods L.P., Sonoda P.M. 1973. Family Berycidae. In D. M. Cohen, ed. *Fishes of the western North Atlantic*. Part 6. Mem. Sears Found. Mar. Res., No.1, Yale Univ., New Haven, 281-293.
- Yoshino T., Kon T., Miura A. 1999. Morphological differences between *Beryx splendens* Lowe and *B.mollis* Abe (Teleostei: Beryciformes : Berycidae). *Bulletin of the faculty of Science, University of Ryukyus* 67, 77-86.
- Yoshino T., Kotlyar A. N. 2001. World distribution of the Balloon Alfonsino, *Beryx mollis* (Pisces: Beryciformes: Berycidae). *Bulletin of the faculty of Science, University of Ryukyus* 72, 119-123.
- Young F.W., Valero-Mora P.M., Friendly M. 2006. *Visual statistics: seeing data with dynamic interactive graphics*. John Wiley and Sons, Hoboken NJ.

Tableau 1 Nombre de caeca pyloriques chez *Beryx mollis* et *B. splendens*. N taille d'échantillon

Espèce, localité	N	Nombre de caeca pyloriques																												Référence
		14	15	16	17	18	19	20	21	22	23	24	25	26	27	28	29	30	31	32	33	34	35	36	37	38	39			
<i>B. mollis</i> , Japon	1	-	-	-	-	-	-	1*	-	-	-	-	-	-	-	-	-	-	-	-	-	-	-	-	-	-	-	-	Abe 1959	
<i>B. mollis</i> , Japon	14	-	1	3	5	3	2	-	-	-	-	-	-	-	-	-	-	-	-	-	-	-	-	-	-	-	-	-	Yoshino et al. 1999	
<i>B. mollis</i> , Japon	16	1	3	4	6	1	1	-	-	-	-	-	-	-	-	-	-	-	-	-	-	-	-	-	-	-	-	-	Présent travail	
<i>B. mollis</i> , Nlle-Calédonie	2	-	-	-	1	-	1	-	-	-	-	-	-	-	-	-	-	-	-	-	-	-	-	-	-	-	-	-	Présent travail	
<i>B. splendens</i> , Japon	14	-	-	-	-	-	-	-	-	-	-	-	-	1	3	2	-	-	3	2	2	-	1	-	-	-	-	-	Yoshino et al. 1999	
<i>B. splendens</i> , Japon	29	-	-	-	-	-	-	-	-	-	-	-	4	9	3	2	4	1	-	2	2	1	1	-	-	-	-	-	Présent travail	
<i>B. splendens</i> , Nlle-Calédonie	20	-	-	-	-	-	-	-	-	-	-	-	2	6	1	1	1	6	-	1	-	-	1	-	-	1	-	1	Présent travail	

* « ca. 20 », mesure rapportée par Abe (1959) pour un des paratypes de *B. mollis*

Tableau 2 Echantillons de *Beryx mollis* et *B. splendens* analysés au cours du présent travail. *ADN* identification à l'espèce par la séquence du gène du cytochrome *b* (Akimoto et al. 2006) ; *ACP* identification à l'espèce par regroupement avec des spécimens de référence sur les ACP utilisant les caractères méristiques (Fig. 10) ; *PYL* identification à l'espèce par le comptage du nombre de caeca pyloriques ; *sp.* code d'espèce (1 *B. splendens*, 2 *B. mollis*) ; *DFs* nombre de rayons mous de la nageoire dorsale ; *PF* nombre de rayons de la nageoire pectorale ; *PFS* nombre de rayons mous de la nageoire pelvienne ; *AFs* nombre de rayons mous de la nageoire anale ; *GR* nombre de branchiospines sur la partie inférieure du premier arc branchial ; *LL* nombre d'écaillés canaliculées le long de la ligne latérale ; *SL* longueur standard (mm) ; *TORB* transformée arcsin√ du diamètre orbital rapporté à la SL ; *TH* transformée arcsin√ de la hauteur de corps, rapportée à la SL ; *TMUS* transformée arcsin√ de la longueur du museau, rapportée à la SL ; *TLT* transformée arcsin√ de la longueur de tête (mâchoires fermées) rapportée à la SL ; *pyl* nombre de caeca pyloriques. *NA* donnée manquante

N°	Identifiant	Test d'identification à l'espèce	Espèce	sp	SL	TORB	TH	TMUS	TLT	pyl	DFs	PF	PFS	AFs	GR	LL
1	MNHN 2002-1234	ADN, ACP	<i>B. splendens</i>	1	240	0.376	0.663	0.214	0.644	NA	14	18	11	27	18	64
2	MNHN 2002-1235	ADN, ACP	<i>B. mollis</i>	2	285	0.402	0.683	0.217	0.645	NA	13	16	11	25	17	67
3	MNHN 2002-1236	ADN, ACP	<i>B. mollis</i>	2	295	0.386	0.729	0.240	0.632	NA	13	15	10	29	14	66
4	MNHN 2002-1237	ADN, ACP	<i>B. mollis</i>	2	230	0.396	0.708	0.201	0.601	NA	13	16	11	30	16	65
5	MNHN 2002-1238	ADN, ACP	<i>B. mollis</i>	2	278	0.410	0.706	0.259	0.619	NA	12	16	9	31	16	64
6	MNHN 2002-1239	ADN, ACP	<i>B. mollis</i>	2	240	0.398	0.696	0.226	0.615	NA	13	15	10	25	14	62
7	MNHN 2002-1240	ADN, ACP	<i>B. mollis</i>	2	NA	NA	NA	NA	NA	NA	12	16	10	NA	16	NA
8	MNHN 2002-1241	ADN, ACP	<i>B. mollis</i>	2	255	0.405	0.693	0.244	0.622	NA	11	16	10	28	16	66
9	MNHN 2002-1242	ADN, ACP	<i>B. splendens</i>	1	245	0.362	0.672	0.236	0.627	NA	14	17	11	29	18	64
10	MNHN 2002-1243	ADN, ACP	<i>B. splendens</i>	1	300	0.386	0.683	0.252	0.665	NA	14	18	11	27	17	70
11	OPERA 12 1	ACP	<i>B. splendens</i>	1	270	0.387	0.641	0.265	0.639	NA	14	17	11	27	18	NA
12	OPERA 12 2	ACP	<i>B. splendens</i>	1	275	0.407	0.636	0.266	0.651	NA	13	18	11	26	18	NA
13	OPERA 12 3	ACP, PYL	<i>B. splendens</i>	1	255	0.396	0.657	0.273	0.657	26	13	17	11	27	16	NA
14	OPERA 12 4	ACP, PYL	<i>B. splendens</i>	1	260	0.387	0.651	0.264	0.641	27	13	18	11	29	16	NA
15	OPERA 12 5	ACP	<i>B. splendens</i>	1	260	0.4	0.657	0.281	0.651	NA	14	18	11	28	17	NA
16	OPERA 12 6	ACP	<i>B. splendens</i>	1	265	0.383	0.638	0.267	0.626	NA	13	17	11	29	17	NA
17	OPERA 12 7	ACP	<i>B. splendens</i>	1	275	0.389	0.633	0.269	0.652	NA	13	18	11	27	17	NA
18	OPERA 12 8	ACP	<i>B. splendens</i>	1	285	0.414	0.624	0.267	0.635	NA	15	18	11	28	17	NA
19	OPERA 12 9	ACP	<i>B. splendens</i>	1	250	0.392	0.64	0.25	0.642	NA	15	18	11	28	18	NA
20	OPERA 12 10	ACP	<i>B. splendens</i>	1	270	0.386	0.612	0.248	0.63	NA	14	17	11	29	18	64
21	OPERA 12 11	ACP	<i>B. splendens</i>	1	260	0.398	0.635	0.265	0.621	NA	15	18	11	28	17	62
22	OPERA 12 12	ACP	<i>B. splendens</i>	1	235	0.402	0.634	0.24	0.64	NA	15	18	11	29	18	NA
23	OPERA 12 13	ACP	<i>B. splendens</i>	1	230	0.385	0.656	0.256	0.639	NA	15	18	11	30	18	68
24	OPERA 12 14	ACP	<i>B. splendens</i>	1	300	0.405	0.643	0.262	0.654	NA	15	18	11	28	17	NA
25	OPERA 12 15	ACP	<i>B. splendens</i>	1	300	0.396	0.648	0.277	0.651	NA	15	18	11	28	17	NA
26	OPERA 12 16	ACP	<i>B. splendens</i>	1	290	0.398	0.643	0.25	0.657	NA	15	16	11	27	19	NA
27	OPERA 12 17	ACP	<i>B. splendens</i>	1	300	0.393	0.647	0.28	0.651	NA	15	18	11	29	17	NA
28	OPERA 12 18	ACP	<i>B. splendens</i>	1	290	0.376	0.615	0.257	0.655	NA	14	18	11	28	17	NA
29	OPERA 12 19	ACP	<i>B. splendens</i>	1	300	0.385	0.655	0.254	0.651	NA	14	18	11	29	17	NA
30	OPERA 11 1 (MNHN 2005-1948)	ACP, PYL	<i>B. mollis</i>	2	220	0.43	0.671	0.255	0.629	17	13	16	10	31	15	65
31	OPERA 11 2	ACP	<i>B. splendens</i>	1	255	0.416	0.632	0.247	0.65	NA	16	18	11	28	17	63

32	OPERA 11 3 (MNHN 2005-1954)	ACP	<i>B. splendens</i>	1	240	0.403	0.624	0.259	0.636	NA	14	18	11	28	17	65
33	OPERA 11 4	ACP	<i>B. splendens</i>	1	270	0.408	0.628	0.255	0.645	NA	14	19	11	29	18	67
34	OPERA 11 5	ACP	<i>B. splendens</i>	1	250	0.404	0.624	0.247	0.637	NA	15	18	10	29	17	67
35	OPERA 11 6	ACP	<i>B. splendens</i>	1	235	0.391	0.652	0.244	0.639	NA	14	18	11	30	17	63
36	OPERA 11 7	ACP	<i>B. splendens</i>	1	270	0.403	0.628	0.251	0.647	NA	14	18	11	30	17	65
37	OPERA 11 8	ACP	<i>B. splendens</i>	1	270	0.404	0.624	0.248	0.623	NA	15	17	11	29	17	71
38	OPERA 11 9 (MNHN 2005-1955)	ACP	<i>B. splendens</i>	1	255	0.403	0.617	0.249	0.646	NA	14	18	11	27	19	63
39	OPERA 11 10 (MNHN 2005-1956)	ACP	<i>B. splendens</i>	1	270	0.403	0.609	0.248	0.626	NA	14	18	11	30	19	64
40	OPERA 11 11 (MNHN 2005-1957)	ACP	<i>B. splendens</i>	1	290	0.417	0.625	0.256	0.655	NA	15	18	11	28	17	64
41	OPERA 12 CH 9 20	ACP	<i>B. splendens</i>	1	320	0.396	0.61	0.263	0.636	NA	14	18	11	28	18	66
42	OPERA 12 CH 9 21	ACP	<i>B. splendens</i>	1	310	0.389	0.599	0.244	0.618	NA	15	18	11	28	18	63
43	OPERA 12 CH 9 22	ACP	<i>B. splendens</i>	1	220	0.399	0.631	0.244	0.635	NA	14	18	11	28	18	61
44	Mont J Juin 2002 carcasse 1	ACP	<i>B. splendens</i>	1	360	0.397	0.641	0.267	0.647	NA	14	18	11	27	18	NA
45	Mont J Juin 2002 carcasse 2	ACP, PYL	<i>B. splendens</i>	1	265	0.398	0.634	0.256	0.628	27	14	18	12	27	18	NA
46	OPERA SUD Ops 1	ACP	<i>B. splendens</i>	1	298	0.402	0.634	0.256	0.647	NA	14	18	10	28	17	66
47	OPERA SUD Ops 2	ACP	<i>B. splendens</i>	1	290	0.39	0.655	0.252	0.643	NA	14	18	11	29	18	71
48	OPERA SUD Ops 3	ACP	<i>B. splendens</i>	1	298	0.404	0.658	0.256	0.654	NA	15	18	11	29	17	65
49	OPERA SUD Ops 4	ACP	<i>B. splendens</i>	1	279	0.388	0.64	0.259	0.637	NA	14	18	10	28	17	67
50	OPERA SUD Ops 5	ACP	<i>B. splendens</i>	1	299	0.398	0.64	0.26	0.679	NA	15	18	11	27	18	67
51	OPERA SUD Ops 6	ACP	<i>B. splendens</i>	1	312	0.405	0.649	0.267	0.656	NA	14	18	12	27	18	64
52	OPERA 12 Mont J Juin 2002 carcasse 23	ACP	<i>B. splendens</i>	1	220	0.402	0.643	0.262	0.651	NA	14	18	10	28	18	NA
53	OPERA 12 Mont J Juin 2002 carcasse 24	ACP	<i>B. splendens</i>	1	255	0.423	0.663	0.252	0.672	NA	13	18	11	27	17	NA
54	OPERA 12 Mont J Juin 2002 carcasse 25	ACP	<i>B. splendens</i>	1	265	0.394	0.661	0.266	0.671	NA	14	18	12	29	17	NA
55	OPERA 12 Mont J Juin 2002 carcasse 26	ACP	<i>B. splendens</i>	1	277	0.397	0.648	0.253	0.648	NA	14	18	11	28	18	NA
56	OPERA 12 Mont J Juin 2002 carcasse 27	ACP	<i>B. splendens</i>	1	325	0.383	0.666	0.26	0.642	NA	14	18	11	27	18	NA
57	OPERA 12 Mont J Juin 2002 carcasse 28	ACP	<i>B. splendens</i>	1	264	0.392	0.663	0.26	0.655	NA	15	18	11	27	17	NA
58	OPERA 12 Mont J Juin 2002 carcasse 29	ACP	<i>B. splendens</i>	1	340	0.402	0.673	0.26	0.656	NA	15	18	11	28	18	NA
59	OPERA 12 Mont J Juin 2002 carcasse 30	ACP	<i>B. splendens</i>	1	333	0.389	0.659	0.256	0.657	NA	15	18	10	28	18	NA
60	OPERA 12 Mont J Juin 2002 carcasse 31	ACP	<i>B. splendens</i>	1	332	0.384	0.675	0.252	0.632	NA	15	17	11	29	18	NA
61	OPERA 12 Mont J Juin 2002 carcasse 32	ACP	<i>B. splendens</i>	1	267	0.409	0.657	0.258	0.625	NA	14	18	11	29	19	NA
62	OPERA 12 Mont J Juin 2002 carcasse 33	ACP	<i>B. splendens</i>	1	395	0.393	0.661	0.275	0.655	NA	14	19	11	26	16	NA
63	OPERA 12 Mont J Juin 2002 carcasse 34	ACP	<i>B. splendens</i>	1	335	0.387	0.665	0.273	0.672	NA	13	18	11	28	19	NA
64	OPERA 12 Mont J Juin 2002 carcasse 35	ACP	<i>B. splendens</i>	1	342	0.396	0.682	0.268	0.664	NA	14	18	11	25	18	NA
65	OPERA 12 Mont J Juin 2002 carcasse 36	ACP	<i>B. splendens</i>	1	344	0.407	0.683	0.267	0.669	NA	14	18	11	28	18	NA
66	Nlle Cal Sud 1	ACP	<i>B. splendens</i>	1	268	0.394	0.646	0.277	0.661	NA	13	18	11	28	18	NA
67	OPERA 12 Mont J juin 2002 carcasse 37	ACP	<i>B. splendens</i>	1	390	0.377	0.687	0.271	0.659	NA	13	18	11	28	18	NA
68	OPERA 12 Mont J juin 2002 carcasse 38	ACP	<i>B. splendens</i>	1	330	0.382	0.672	0.249	0.641	NA	13	18	11	27	17	NA
69	OPERA 12 Mont J juin 2002 carcasse 39	ACP	<i>B. splendens</i>	1	363	0.386	0.661	0.264	0.656	NA	13	18	11	26	18	NA
70	OPERA 12 Mont J juin 2002 carcasse 40	ACP	<i>B. splendens</i>	1	380	0.381	0.658	0.265	0.648	NA	13	18	11	26	18	NA
71	OPERA 12 Mont J juin 2002 carcasse 41	ACP, PYL	<i>B. splendens</i>	1	358	0.39	0.661	0.252	0.638	27	14	18	11	27	18	NA
72	OPERA 12 Mont J juin 2002 carcasse 42	ACP, PYL	<i>B. splendens</i>	1	345	0.39	0.661	0.255	0.665	31	14	17	11	28	19	NA
73	OPERA 12 Mont J juin 2002 carcasse 43	ACP, PYL	<i>B. splendens</i>	1	365	0.378	0.664	0.253	0.634	26	13	16	11	27	19	NA

74	OPERA 12 Mont J juin 2002 carcasse 44	ACP, PYL	<i>B. splendens</i>	1	358	0.4	0.676	0.264	0.671	29	13	18	11	27	18	NA
75	OPERA 12 Mont J juin 2002 carcasse 45	ACP, PYL	<i>B. splendens</i>	1	398	0.388	0.665	0.26	0.653	31	13	18	11	26	18	NA
76	OPERA 12 Mont J juin 2002 carcasse 46	ACP, PYL	<i>B. splendens</i>	1	246	0.403	0.665	0.259	0.659	31	15	17	11	28	18	NA
77	OPERA 12 Mont J juin 2002 carcasse 47	ACP	<i>B. splendens</i>	1	234	0.391	0.65	0.258	0.647	NA	14	17	11	29	19	NA
78	OPERA 12 Mont J juin 2002 carcasse 48	ACP, PYL	<i>B. splendens</i>	1	262	0.399	0.657	0.256	0.648	36	15	18	11	27	18	NA
79	OPERA 12 Mont J juin 2002 carcasse 49	ACP, PYL	<i>B. splendens</i>	1	221	0.404	0.57	0.26	0.654	31	14	17	11	27	18	NA
80	OPERA 12 Mont J juin 2002 carcasse 50	ACP, PYL	<i>B. splendens</i>	1	265	0.387	0.637	0.27	0.632	27	15	18	11	29	17	NA
81	OPERA 12 Mont J juin 2002 carcasse 51	ACP, PYL	<i>B. splendens</i>	1	288	0.389	0.683	0.255	0.634	30	14	18	11	29	18	NA
82	OPERA 12 Mont J juin 2002 carcasse 52	ACP, PYL	<i>B. splendens</i>	1	252	0.415	0.68	0.256	0.662	28	15	18	11	29	18	NA
83	OPERA 12 Mont J juin 2002 carcasse 53	ACP, PYL	<i>B. splendens</i>	1	340	0.375	0.641	0.252	0.633	33	15	17	11	29	18	NA
84	OPERA 12 Mont J juin 2002 carcasse 54	ACP, PYL	<i>B. splendens</i>	1	315	0.397	0.702	0.28	0.662	39	14	18	11	28	18	NA
85	OPERA 12 Mont J juin 2002 carcasse 55	ACP, PYL	<i>B. splendens</i>	1	325	0.39	0.7	0.258	0.64	27	14	18	11	28	19	NA
86	OPERA 12 Mont J juin 2002 carcasse 56	ACP, PYL	<i>B. splendens</i>	1	372	0.374	0.677	0.262	0.649	31	14	19	11	26	17	NA
87	OPERA 12 Mont J juin 2002 carcasse 57	ACP, PYL	<i>B. splendens</i>	1	360	0.374	0.645	0.253	0.644	31	15	18	11	28	18	NA
88	OPERA 12 Mont J juin 2002 carcasse 58	ACP, PYL	<i>B. splendens</i>	1	362	0.385	0.651	0.257	0.646	27	14	18	11	28	18	NA
89	OPERA 12 Mont J juin 2002 carcasse 59	ACP	<i>B. splendens</i>	1	390	0.375	0.649	0.264	0.637	NA	14	18	11	29	18	NA
90	Opera 12 CH 8 Mont J 22 Juin 2002 carcasse 60 (MNHN 2005-1950)	ACP	<i>B. splendens</i>	1	340	0.391	0.57	0.26	0.645	NA	14	18	11	27	17	65
91	Opera 12 CH 8 Mont J 22 Juin 2002 carcasse 61 (MNHN 2005-1951)	ACP	<i>B. splendens</i>	1	246	0.398	0.637	0.27	0.675	NA	15	18	11	29	18	66
92	Opera 12 CH 4 Mont J 21 Juin 2002 carcasse 62	ACP	<i>B. splendens</i>	1	314	0.421	0.683	0.255	0.661	NA	15	18	11	30	20	68
93	Opera 12 CH 4 Mont J 21 Juin 2002 carcasse 63	ACP	<i>B. splendens</i>	1	291	0.383	0.68	0.256	0.639	NA	14	18	11	28	19	68
94	NORFOLK 2 CH 2115 1 (MNHN 2005-1949)	ACP, PYL	<i>B. mollis</i>	2	144	0.329	0.641	0.231	0.591	19	14	16	11	29	15	NA
95	Nouvelle-Calédonie SUD 2	ACP	<i>B. splendens</i>	1	290	0.4	0.7	0.258	0.652	NA	16	18	11	29	19	65
96	Nouvelle-Calédonie SUD 3	ACP	<i>B. splendens</i>	1	253	0.407	0.677	0.262	0.665	NA	13	18	11	30	19	66
97	Nouvelle-Calédonie SUD 4	ACP	<i>B. splendens</i>	1	254	0.405	0.645	0.253	0.664	NA	14	18	11	28	17	62
98	Nouvelle-Calédonie SUD 5	ACP	<i>B. splendens</i>	1	262	0.401	0.651	0.257	0.627	NA	15	18	11	28	18	61
99	Nouvelle-Calédonie SUD 6	ACP	<i>B. splendens</i>	1	263	0.386	0.649	0.264	0.644	NA	16	17	11	29	18	64
100	Nouvelle-Calédonie SUD 7	ACP	<i>B. splendens</i>	1	257	0.386	0.634	0.271	0.641	NA	14	18	11	29	18	67
101	Nouvelle-Calédonie SUD 8	ACP	<i>B. splendens</i>	1	290	0.397	0.638	0.289	0.647	NA	14	18	10	28	19	61
102	Nouvelle-Calédonie SUD 9	ACP	<i>B. splendens</i>	1	297	0.406	0.658	0.249	0.653	NA	14	18	10	28	18	61
103	Nouvelle-Calédonie SUD 10 (MNHN 2005-1952)	ACP	<i>B. splendens</i>	1	270	0.405	0.645	0.269	0.633	NA	14	18	11	28	17	69
104	Nouvelle-Calédonie SUD 11 (MNHN 2005-1953)	ACP	<i>B. splendens</i>	1	284	0.389	0.678	0.232	0.63	NA	14	18	11	28	18	63
105	BmollisAkimoto 1	ADN, ACP, PYL	<i>B. mollis</i>	2	300	NA	NA	NA	NA	NA	14	17	10	29	NA	NA
106	BmollisAkimoto 2	ADN, ACP, PYL	<i>B. mollis</i>	2	286	NA	NA	NA	NA	NA	13	18	10	27	NA	NA
107	BmollisAkimoto 3	ADN, ACP, PYL	<i>B. mollis</i>	2	308	NA	NA	NA	NA	NA	13	17	10	28	NA	NA
108	BmollisAkimoto 4	ADN, ACP, PYL	<i>B. mollis</i>	2	290	NA	NA	NA	NA	NA	13	18	10	29	NA	NA
109	BmollisAkimoto 5	ADN, ACP, PYL	<i>B. mollis</i>	2	290	NA	NA	NA	NA	17	12	17	10	29	NA	NA
110	BmollisAkimoto 6	ADN, ACP, PYL	<i>B. mollis</i>	2	272	NA	NA	NA	NA	15	13	18	10	29	NA	NA
111	BmollisAkimoto 7	ADN, ACP, PYL	<i>B. mollis</i>	2	248	NA	NA	NA	NA	17	13	17	10	30	NA	NA
112	BmollisAkimoto 8	ADN, ACP, PYL	<i>B. mollis</i>	2	330	NA	NA	NA	NA	14	13	18	9	28	NA	NA
113	BmollisAkimoto 9	ADN, ACP, PYL	<i>B. mollis</i>	2	160	NA	NA	NA	NA	15	13	16	9	31	NA	NA
114	BmollisAkimoto 10	ADN, ACP, PYL	<i>B. mollis</i>	2	309	NA	NA	NA	NA	15	13	18	10	28	17	NA

115	BmollisAkimoto 11	ADN, ACP, PYL	<i>B. mollis</i>	2	311	NA	NA	NA	NA	17	13	17	9	29	16	NA
116	BmollisAkimoto 12	ADN, ACP, PYL	<i>B. mollis</i>	2	268	NA	NA	NA	NA	17	13	16	10	30	16	NA
117	BmollisAkimoto 13	ADN, ACP, PYL	<i>B. mollis</i>	2	278	NA	NA	NA	NA	17	13	16	10	32	16	NA
118	BmollisAkimoto 14	ADN, ACP, PYL	<i>B. mollis</i>	2	298	NA	NA	NA	NA	18	13	17	10	31	17	NA
119	BmollisAkimoto 15	ADN, ACP, PYL	<i>B. mollis</i>	2	301	NA	NA	NA	NA	16	13	17	10	30	17	NA
120	BmollisAkimoto 16	ADN, ACP, PYL	<i>B. mollis</i>	2	273	NA	NA	NA	NA	17	12	17	10	28	16	NA
121	BmollisAkimoto 17	ADN, ACP, PYL	<i>B. mollis</i>	2	300	NA	NA	NA	NA	16	13	18	10	27	16	NA
122	BmollisAkimoto 18	ADN, ACP, PYL	<i>B. mollis</i>	2	276	NA	NA	NA	NA	19	13	17	10	29	15	NA
123	BmollisAkimoto 19	ADN, ACP, PYL	<i>B. mollis</i>	2	291	NA	NA	NA	NA	16	13	17	10	30	16	NA
124	BmollisAkimoto 20	ADN, ACP, PYL	<i>B. mollis</i>	2	252	NA	NA	NA	NA	16	12	16	10	27	16	NA
125	BsplendensAkimoto 1	ADN, ACP, PYL	<i>B. splendens</i>	1	202	NA	NA	NA	NA	30	14	19	10	26	18	NA
126	BsplendensAkimoto 2	ADN, ACP, PYL	<i>B. splendens</i>	1	208	NA	NA	NA	NA	27	14	19	10	27	19	NA
127	BsplendensAkimoto 3	ADN, ACP, PYL	<i>B. splendens</i>	1	241	NA	NA	NA	NA	34	14	19	11	25	19	NA
128	BsplendensAkimoto 4	ADN, ACP, PYL	<i>B. splendens</i>	1	205	NA	NA	NA	NA	28	14	19	10	27	18	NA
129	BsplendensAkimoto 5	ADN, ACP, PYL	<i>B. splendens</i>	1	260	NA	NA	NA	NA	30	15	19	11	28	17	NA
130	BsplendensAkimoto 6	ADN, ACP, PYL	<i>B. splendens</i>	1	267	NA	NA	NA	NA	34	14	20	11	28	17	NA
131	BsplendensAkimoto 7	ADN, ACP, PYL	<i>B. splendens</i>	1	265	NA	NA	NA	NA	27	14	19	12	29	19	NA
132	BsplendensAkimoto 8	ADN, ACP, PYL	<i>B. splendens</i>	1	257	NA	NA	NA	NA	30	14	18	10	29	18	NA
133	BsplendensAkimoto 9	ADN, ACP, PYL	<i>B. splendens</i>	1	224	NA	NA	NA	NA	26	14	19	10	29	18	NA
134	BsplendensAkimoto 10	ADN, ACP, PYL	<i>B. splendens</i>	1	216	NA	NA	NA	NA	33	15	20	11	28	18	NA
135	BsplendensAkimoto 11	ADN, ACP, PYL	<i>B. splendens</i>	1	216	NA	NA	NA	NA	29	14	18	10	29	18	NA
136	BsplendensAkimoto 12	ADN, ACP, PYL	<i>B. splendens</i>	1	210	NA	NA	NA	NA	31	14	20	11	29	18	NA
137	BsplendensAkimoto 13	ADN, ACP, PYL	<i>B. splendens</i>	1	210	NA	NA	NA	NA	27	14	20	10	28	18	NA
138	BsplendensAkimoto 14	ADN, ACP, PYL	<i>B. splendens</i>	1	215	NA	NA	NA	NA	28	14	20	11	29	18	NA
139	BsplendensAkimoto 15	ADN, ACP, PYL	<i>B. splendens</i>	1	220	NA	NA	NA	NA	28	14	19	10	28	18	NA
140	BsplendensAkimoto 16	ADN, ACP, PYL	<i>B. splendens</i>	1	214	NA	NA	NA	NA	26	14	19	10	26	18	NA
141	BsplendensAkimoto 17	ADN, ACP, PYL	<i>B. splendens</i>	1	204	NA	NA	NA	NA	26	14	19	11	27	18	NA
142	BsplendensAkimoto 18	ADN, ACP, PYL	<i>B. splendens</i>	1	204	NA	NA	NA	NA	27	15	19	10	28	19	NA
143	BsplendensAkimoto 19	ADN, ACP, PYL	<i>B. splendens</i>	1	203	NA	NA	NA	NA	30	15	18	11	30	20	NA
144	BsplendensAkimoto 20	ADN, ACP, PYL	<i>B. splendens</i>	1	292	NA	NA	NA	NA	27	15	18	11	26	20	NA
145	BsplendensAkimoto 21	ADN, ACP, PYL	<i>B. splendens</i>	1	302	NA	NA	NA	NA	26	14	19	10	26	19	NA
146	BsplendensAkimoto 22	ADN, ACP, PYL	<i>B. splendens</i>	1	295	NA	NA	NA	NA	29	14	18	10	30	19	NA
147	BsplendensAkimoto 23	ADN, ACP, PYL	<i>B. splendens</i>	1	295	NA	NA	NA	NA	27	14	18	11	28	18	NA
148	BsplendensAkimoto 24	ADN, ACP, PYL	<i>B. splendens</i>	1	293	NA	NA	NA	NA	27	15	20	12	29	18	NA
149	BsplendensAkimoto 25	ADN, ACP, PYL	<i>B. splendens</i>	1	284	NA	NA	NA	NA	33	14	18	11	29	18	NA
150	BsplendensAkimoto 26	ADN, ACP, PYL	<i>B. splendens</i>	1	297	NA	NA	NA	NA	36	14	17	10	28	18	NA
151	BsplendensAkimoto 27	ADN, ACP, PYL	<i>B. splendens</i>	1	275	NA	NA	NA	NA	27	14	18	10	27	18	NA
152	BsplendensAkimoto 28	ADN, ACP, PYL	<i>B. splendens</i>	1	295	NA	NA	NA	NA	27	13	19	11	26	18	NA
153	BsplendensAkimoto 29	ADN, ACP, PYL	<i>B. splendens</i>	1	292	NA	NA	NA	NA	35	15	18	10	27	19	NA
154	ind moy B.mollis Yoshino	PYL	<i>B.mollis</i>	2	189	NA	NA	NA	NA	17.1	12.9	16.95	9.85	29.2	16	64.7
155	ind moy B.splendens Yoshino	PYL	<i>B.splendens</i>	1	288	NA	NA	NA	NA	31.0	12.86	18.58	10.71	27.4	17.9	60.8
156	Holotype B. mollis Abe	holotype	<i>B. mollis</i>	2	264.8	NA	NA	NA	NA	NA	13	16	10	31	18	68

Tableau 3 *Beryx mollis* et *B. splendens*. Test de normalité des variables morphologiques (transformées arcsin√) mesurées sur les individus de Nouvelle-Calédonie. L'identification à l'espèce a été faite à partir du nombre de caeca pyloriques ou à l'aide de marqueurs génétiques, ou a posteriori par regroupement suite aux ACP. D valeur du D de Kolmogorov Smirnov et P probabilité associée sous l'hypothèse nulle de normalité (Statistica) ; Lilliefors résultat de la correction de signification de Lilliefors (STATISTICA)

Echantillon, Test de normalité	Variable			
	TORB	TH	TMUS	TLT
<i>B. mollis</i> (N = 7)				
D de Kolmogorov - Smirnov	0.35 ($P > 0.20$)	0.17 ($P > 0.20$)	0.22 ($P > 0.20$)	0.32 ($P > 0.20$)
Lilliefors	$P < 0.01$	$P > 0.20$	$P > 0.20$	$P < 0.05$
<i>B. splendens</i> (N = 94)				
D de Kolmogorov - Smirnov	0.07 ($P > 0.20$)	0.10 ($P > 0.20$)	0.13 ($P < 0.01$)	0.13 ($P < 0.01$)
Lilliefors	$P > 0.20$	$P < 0.05$	$P < 0.01$	$P < 0.01$

Tableau 4 *Beryx mollis* et *B. splendens*. Test de comparaison entre les deux espèces des distributions des valeurs pour 5 variables méristiques. Les deux jeux de données (NC et Japon) ont été concaténés. W valeur du W de Wilcoxon ; P probabilité associée sous l'hypothèse nulle d'égalité des distributions. SD écart-type de la distribution ; N taille de l'échantillon

Variable	Moyenne \pm SD (N)		Test de Wilcoxon	
	<i>B. mollis</i>	<i>B. splendens</i>	W	P
THAUT	0.691 \pm 0.027 (8)	0.650 \pm 0.024 (95)	93.5	0.0004
TMUS	0.234 \pm 0.019 (8)	0.259 \pm 0.011 (95)	666.5	0.0004
TLT	0.619 \pm 0.017 (8)	0.647 \pm 0.013 (95)	695	0.0001
TORB	0.395 \pm 0.029 (8)	0.395 \pm 0.011 (95)	300	0.3270
DFs	12.8 \pm 0.6 (31)	14.2 \pm 0.7 (125)	3560	1.537e-14
PF	16.7 \pm 0.9 (31)	18.1 \pm 0.7 (125)	3417	1.436e-13
PFS	10.0 \pm 0.5 (31)	10.9 \pm 0.4 (125)	3407.5	1.063e-14
AFs	29.0 \pm 1.7 (30)	28.0 \pm 1.1 (125)	1084	0.0002
GR	16.0 \pm 1.0 (22)	17.9 \pm 0.8 (125)	2587	2.858e-12
LL	65.3 \pm 1.7 (9)	65.0 \pm 2.7 (40)	159.5	0.6032

Tableau 5 *Beryx mollis* et *B. splendens*. Test de normalité des variables méristiques mesurées sur les individus de Nouvelle-Calédonie et du Japon. L'identification à l'espèce a été faite à partir du nombre de caeca pyloriques ou à l'aide de marqueurs génétiques, ou a posteriori par regroupement suite aux ACP. Abréviations des variables voir Fig. 4 ; *W* indice de Shapiro et Wilk (calculé sous R) ; *P* probabilité associée sous l'hypothèse nulle de normalité, estimée selon l'algorithme fourni par R (Royston 1982) ; NC Nouvelle-Calédonie

Echantillon, Test de normalité	Variable						
	DFs	PF	pFs	AFs	GR	LL	PYL
<i>B. mollis</i> NC (N = 8)							
<i>W</i>	0.724	0.566	0.810	0.859	0.860	0.933	-
<i>P</i>	0.004	< 0.001	0.037	0.147	0.120	0.576	-
<i>B. mollis</i> Japon (N = 19)							
<i>W</i>	0.626	0.803	0.362	0.936	0.774	-	0.940
<i>P</i>	< 0.001	0.001	< 0.001	0.221	0.004	-	0.386
<i>B. splendens</i> NC (N = 95)							
<i>W</i>	0.844	0.573	0.431	0.918	0.856	0.958	0.856
<i>P</i>	< 0.001	< 0.001	< 0.001	< 0.001	< 0.001	0.156	0.007
<i>B. splendens</i> Japon (N = 30)							
<i>W</i>	0.703	0.867	0.732	0.950	0.781	-	0.856
<i>P</i>	< 0.001	0.001	< 0.001	0.168	< 0.001	-	0.001

Tableau 6 *Beryx mollis* et *B. splendens*. Analyse discriminante sur l'ensemble des individus échantillonnés en Nouvelle-Calédonie et au Japon (total : N = 145) caractérisés selon 5 variables méristiques. Abréviations : *AFs* nombre de rayons mous de la nageoire anale ; *DFs* nombre de rayons mous de la nageoire dorsale ; *PF* nombre de rayons de la nageoire pectorale ; *pFs* nombre de rayons mous de la nageoire pelvienne ; *GR* nombre de branchiospines sur la partie inférieure du premier arc branchial. Lambda (Wilk) : 0.27680 F appro. (5,139)=72.634 p<0.0000

Variable	Lambda de Wilk	Lambda partiel	F d'excl.	<i>P</i>
<i>DFs</i>	0.327	0.846	25.237	0.000
<i>PF</i>	0.339	0.817	31.189	0.000
<i>pFs</i>	0.329	0.841	26.275	0.000
<i>AFs</i>	0.296	0.934	9.873	0.002
<i>GR</i>	0.350	0.791	36.731	0.000

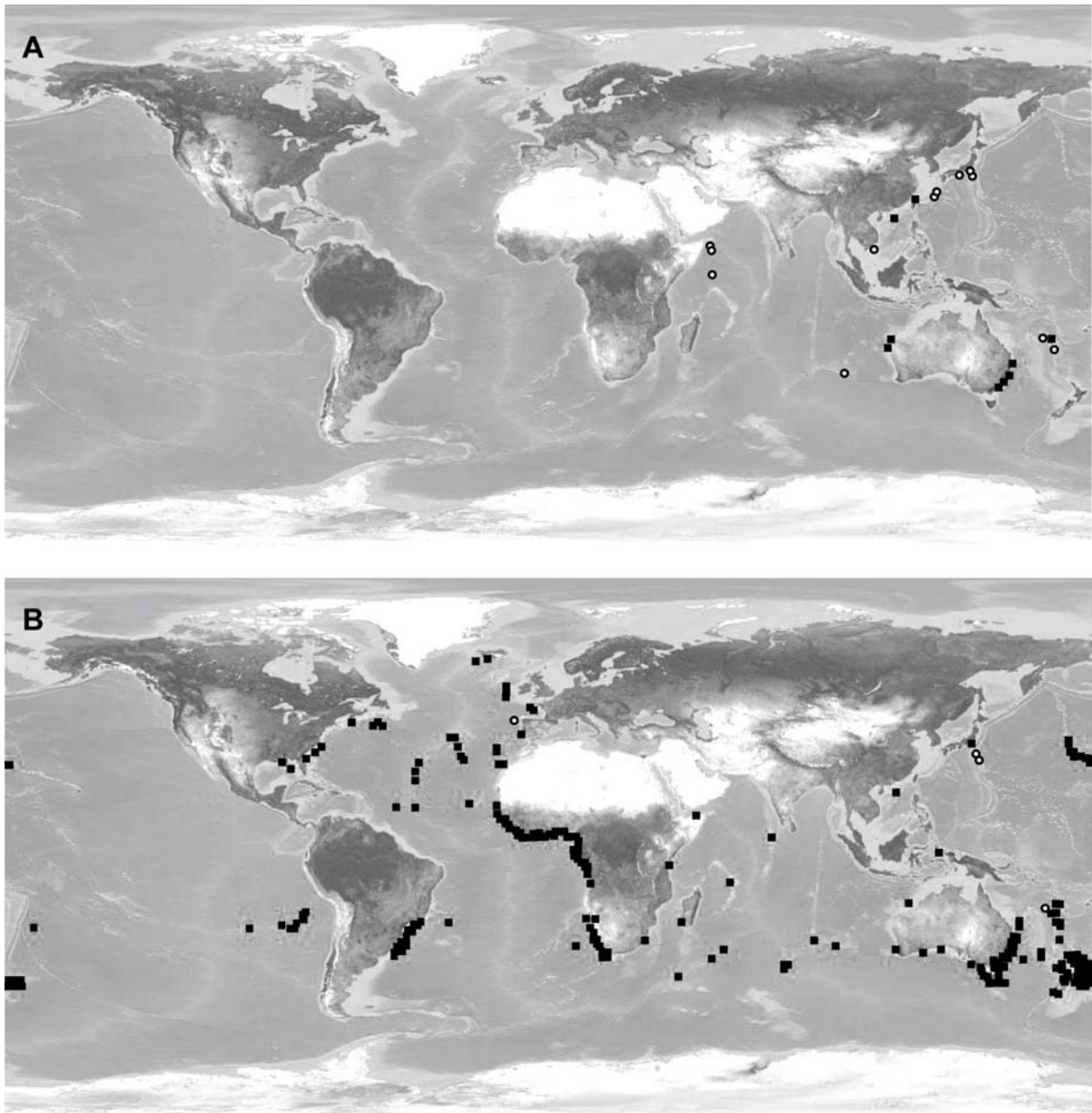


Fig. 1 A Distribution géographique de *Beryx mollis*. B Distribution géographique de *Beryx splendens*. ■ points d'occurrence selon FishBase [<http://www.fishbase.org/>] (Froese & Pauly 2007) ; consultation faite le 03 septembre 2007] ; ● points supplémentaires selon Hoarau & Borsa (2000), Yoshino & Kotlyar (2001), Akimoto et al. (2006) et P. Borsa (non publié)

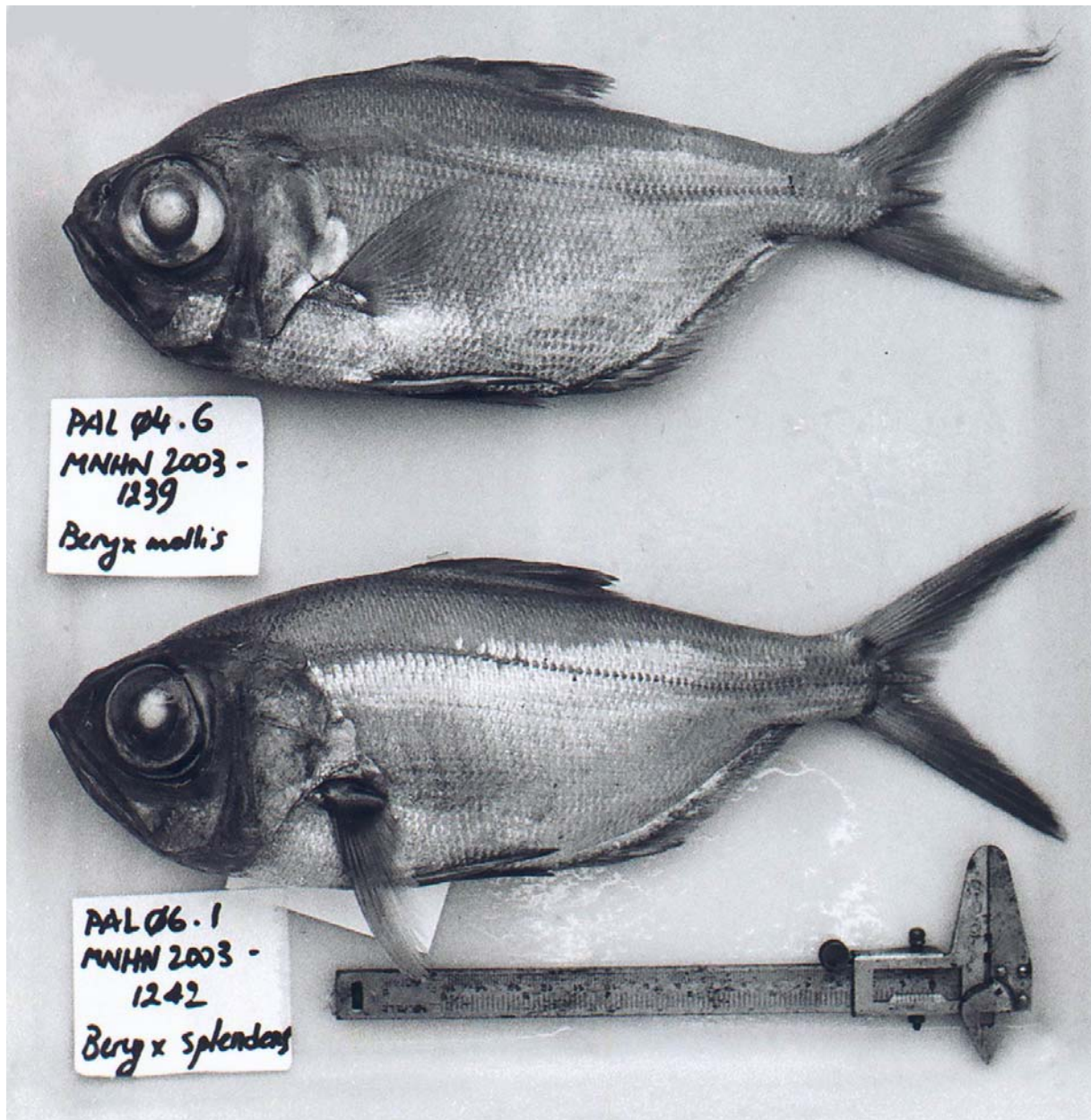


Fig. 2 Morphologie externe de *Beryx mollis* (en haut) et *B. splendens* (en bas). *B. mollis* : spécimen MNHN 2003-1239 du Museum national d'histoire naturelle, capturé à la palangre par 650 m au nord du récif Jouan (20°35'S 166°58'E) lors de la campagne CHONDRICAL du N.O. Alis le 27 janvier 2002 ; *B. splendens* : spécimen MNHN 2003-1242, capturé à la palangre par ~600 m à proximité du récif Jouan (20°36'S 166°53'E) lors de CHONDRICAL, le 28 janvier 2002



Fig. 3 Spécimen de *Beryx mollis* (NORFOLK 2 CH2115 ; MNHN 2005-1949 ; no. 94 de la présente étude) pêché lors de la campagne NORFOLK 2 du N.O. *Atis*, sur la rive de Norfolk, le 31 octobre 2003. L'identification à l'espèce a été faite à partir du nombre de caeca pyloriques (Yoshino et al. 1999). Longueur standard : SL = 144 mm

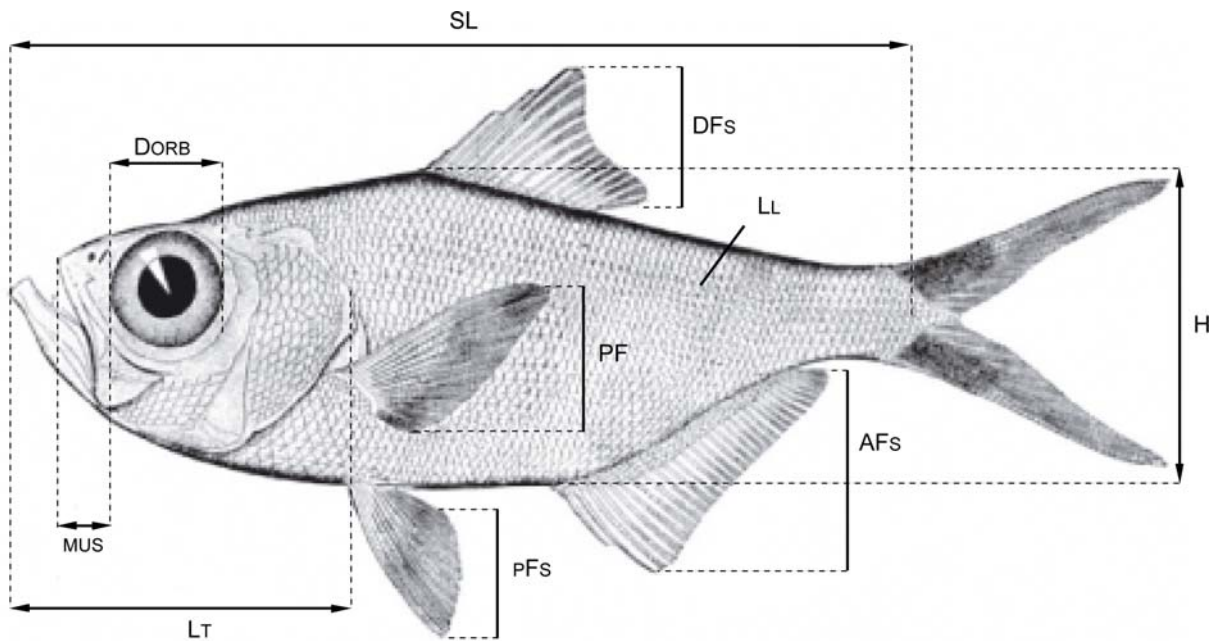


Fig. 4 *Beryx mollis* et *B. splendens*. Caractères morphologiques et méristiques externes mesurés sur chaque poisson : *SL* longueur standard (mâchoires fermées) ; *DORB* diamètre de l'orbite ; *H* hauteur du corps ; *MUS* longueur du museau ; *LT* longueur de la tête (mâchoires fermées) ; *LL* nombre d'écaillés sur la ligne latérale ; *DFs* nombre de rayons mous sur la nageoire dorsale ; *PF* nombre de rayons sur la nageoire pectorale ; *PFS* nombre de rayons mous sur la nageoire pelvienne ; *AFs* nombre de rayons mous sur la nageoire anale. NB : le nombre de branchiospines sur la moitié inférieure du premier arc branchial (*GR*), ainsi que le nombre de caeca pyloriques (*PYL*) ont aussi été comptés

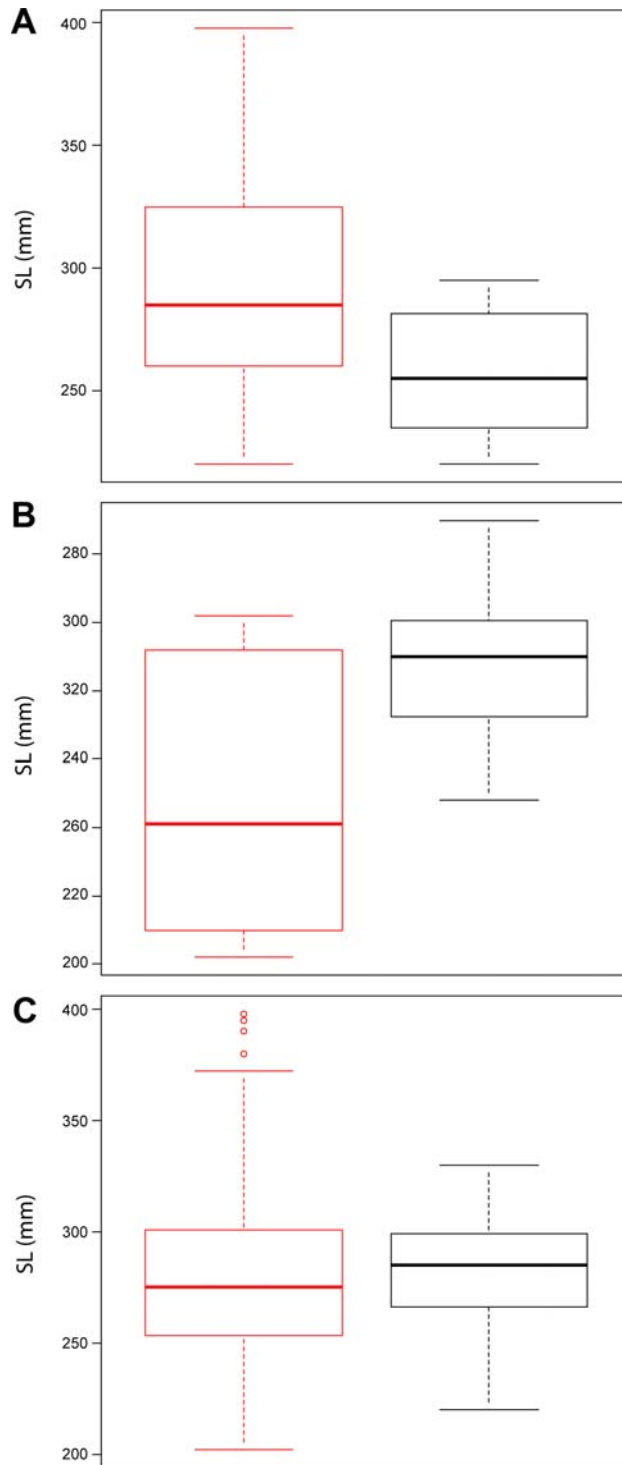


Fig. 5 *Beryx mollis* et *B. splendens*. **A** Distribution des longueurs standard (*SL*) dans l'échantillon de Nouvelle-Calédonie ; l'individu n° 94, considéré comme *outlier*, n'a pas été représenté. **B** Distribution des *SL* dans l'échantillon du Japon ; l'individu n° 113, considéré comme *outlier*, n'a pas été représenté. **C** Distribution des *SL* dans l'échantillon total. Rouge *B. splendens* ; noir *B. mollis*

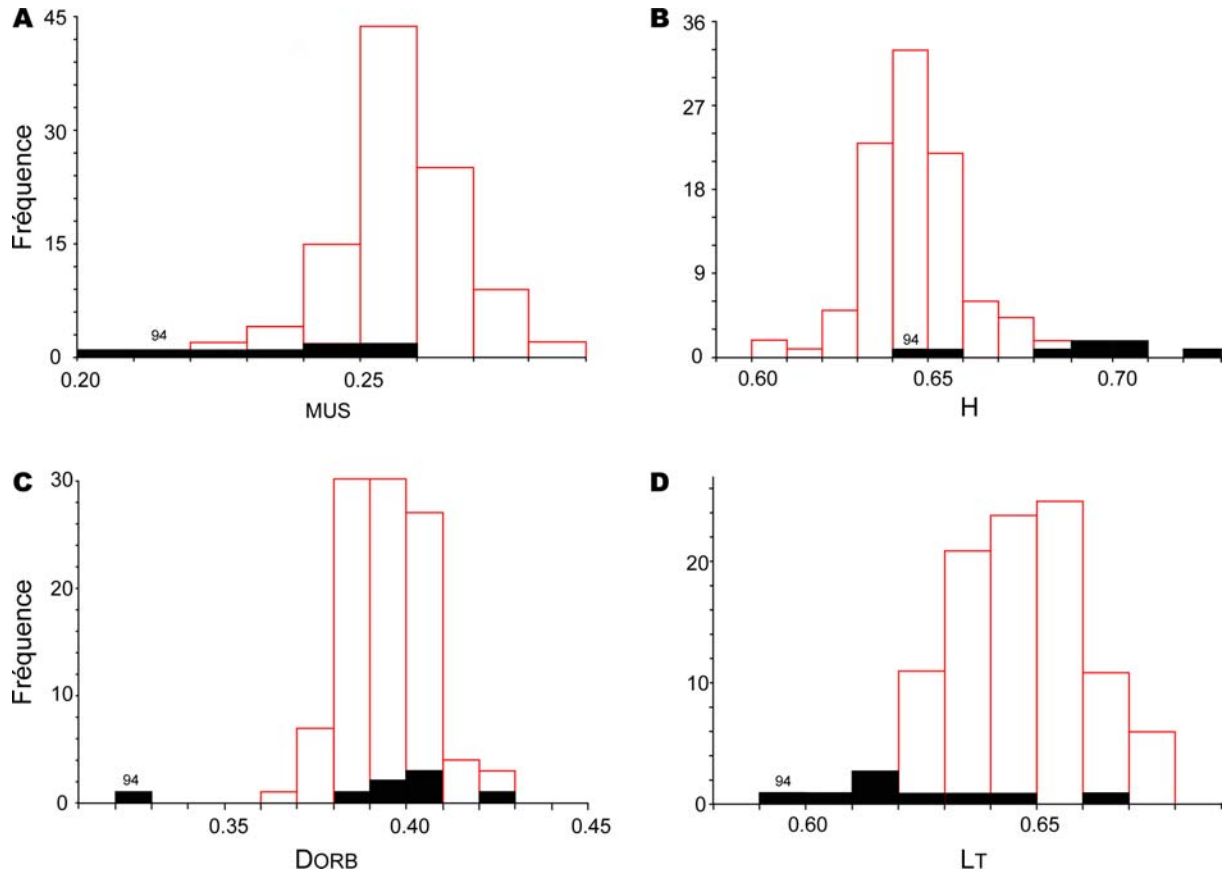


Fig. 6 *Beryx mollis* et *B. splendens*. Histogrammes des fréquences pour quatre variables morphologiques ; taille totale de l'échantillon : $N = 103$. **A** Longueur du museau (*MUS*). **B** Hauteur du corps (*H*). **C** Diamètre de l'orbite (*DORB*). **D** Longueur de la tête (*LT*). Les valeurs ont été rapportées à la longueur standard et transformées par la transformation $\arcsin\sqrt{\cdot}$. *Plein* individus identifiés a posteriori comme étant *B. mollis* ; *ouvert* individus identifiés de même comme *B. splendens* (voir Fig. 10). Position de l'individu *B. mollis* no. 94 (MNHN 2005-1949 ; Fig. 3) indiquée sur chaque histogramme

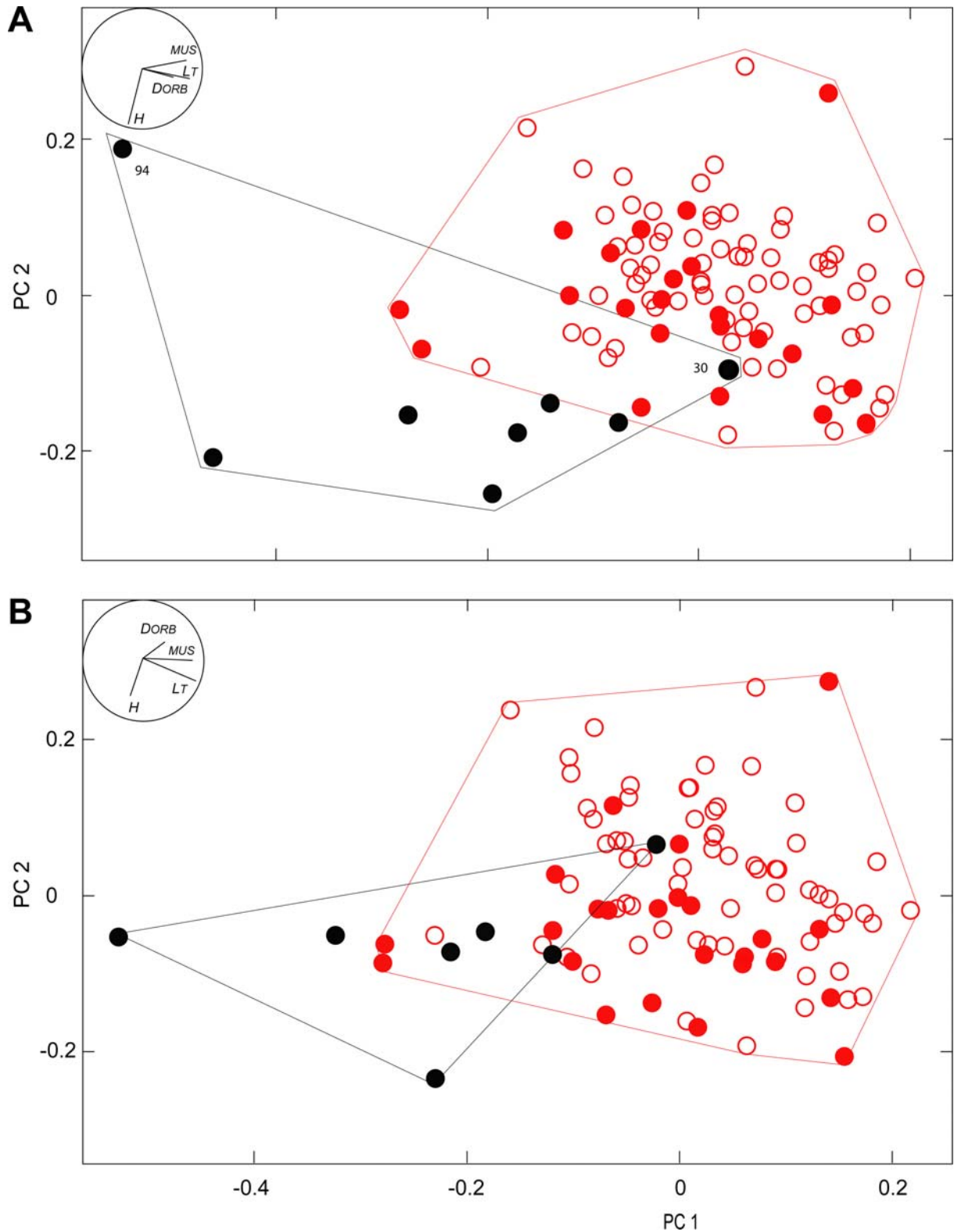


Fig. 7 *Beryx mollis* et *B. splendens*. **A** Projection sur le plan principal des résultats de l'ACP portant sur 93 individus de Nouvelle-Calédonie. **B** Idem, sur 92 individus (l'individu n° 94, outlier, a été éliminé de cette seconde analyse). Les individus ont été mesurés selon leur longueur de tête (*LT*), leur longueur de museau (*MUS*), leur diamètre orbital (*DORB*) et leur hauteur de corps (*H*), rapportés à la longueur standard et transformés par $\arcsin\sqrt{\quad}$. Les cercles pleins désignent les individus identifiés à l'espèce à partir du nombre de caeca pyloriques ou bien de la séquence au locus du cytochrome *b* (Akimoto et al. 2006) ; les spécimens de *B. mollis* MNHN 2005-1948 (OPERA 11-1 ; no. 30 de la présente étude) et MNHN 2005-1949 (NORFOLK 2 CH2115 ; no. 94) ont été déterminés à l'espèce à partir du nombre de caeca pyloriques ; ● individus regroupés avec *B. splendens* sur les ACP faites sur les données méristiques (Fig. 10).

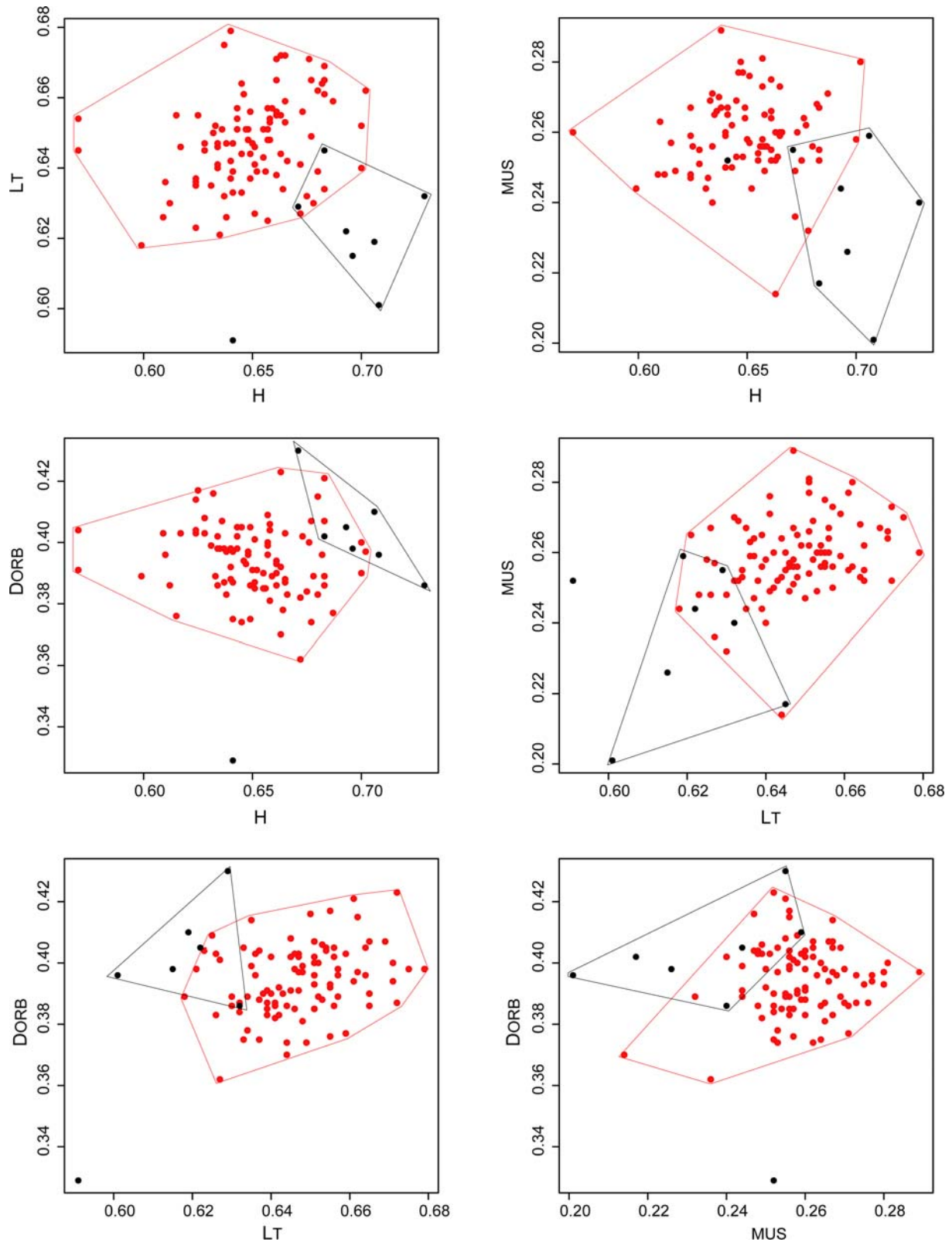


Fig. 8 *Beryx mollis* et *B. splendens*. Distribution des individus définis selon leurs caractères morphologiques pris deux à deux. L'individu *B. mollis* no. 94, considéré comme outlier, est laissé en marge de l'enveloppe délimitant les individus de cette espèce. *H* hauteur du corps, *LT* longueur de la tête, *MUS* longueur du museau, *DORB* diamètre orbital, rapportés à la longueur standard et transformés par \arcsin ; *points noirs* : *B. mollis* ; *points rouges* : *B. splendens* (voir Fig. 10)

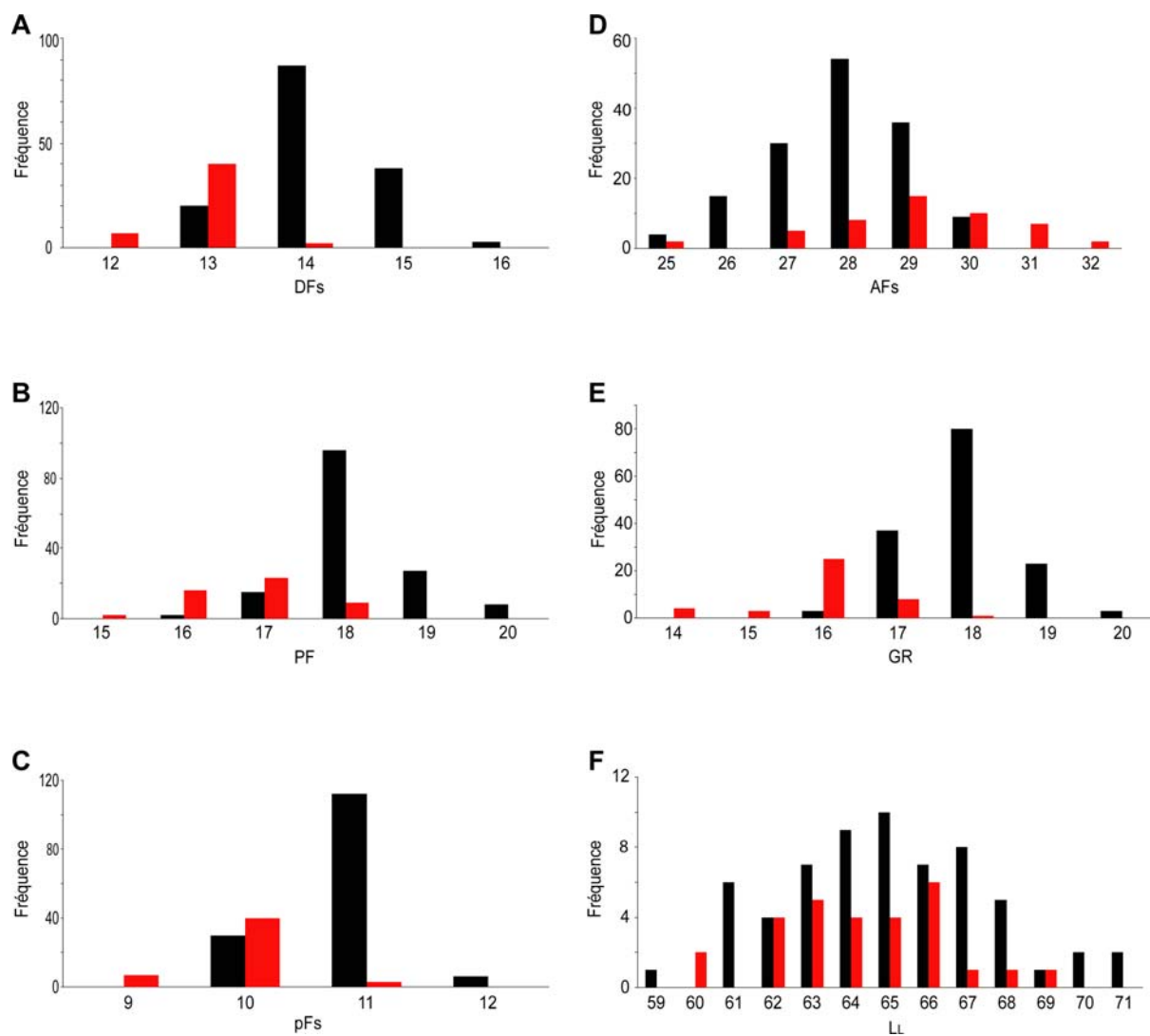


Fig. 9 *Beryx mollis* et *B. splendens*. Diagrammes en bâtons montrant la distribution des valeurs pour 6 variables méristiques. **A** Nombre de rayons mous sur la nageoire dorsale (DFs) ($N, N = 50, 148$). **B** Nombre de rayons sur la nageoire pectorale (PF) ($N, N = 50, 148$). **C** Nombre de rayons mous sur la nageoire pelvienne (pFs) ($N, N = 50, 148$). **D** Nombre de rayons mous sur la nageoire anale (AFs) ($N, N = 49, 148$). **E** Nombre de branchiostegines sur la moitié inférieure du premier arc branchial (GR) ($N, N = 41, 146$). **F** Nombre d'écaillés sur la ligne latérale (LL) ($N, N = 28, 62$). *En noir* individus identifiés a posteriori comme étant *B. mollis* ; *en rouge* individus identifiés de même comme *B. splendens* ; N, N taille totale de l'échantillon pour, respectivement, *B. mollis* et *B. splendens*, comprenant les individus examinés au cours du présent travail et ceux de Yoshino et al. (1999)

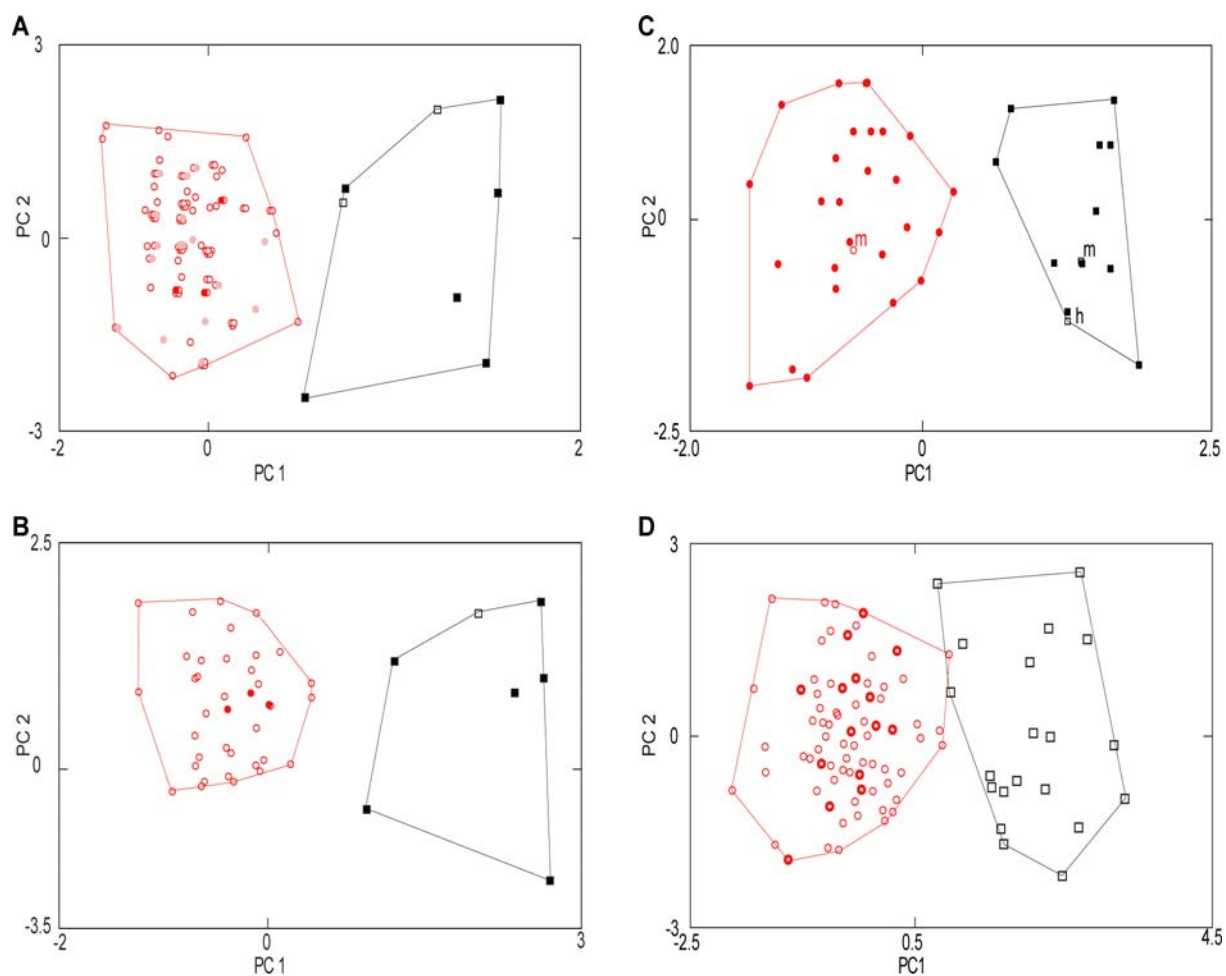


Fig. 10 Résultats des ACP sur variables méristiques chez les *Beryx mollis* et *B. splendens* de Nouvelle-Calédonie. **A** Représentation de 93 individus mesurés selon 5 caractères méristiques : nombre de rayons mous sur la nageoire dorsale (*DFs*), nombre de rayons sur la nageoire pectorale (*PF*), nombre de rayons mous sur la nageoire pelvienne (*PFs*), nombre de rayons mous sur la nageoire anale (*AFs*), nombre de branchiospines sur le premier arc branchial inférieur (*GR*). ● Spécimens *B. splendens* MNHN 2003-1234 et MNHN 2003-1242, 1243 (respectivement, nos. 1, 9 et 10 de la présente étude), identifiés à l'espèce à partir des séquences du gène du cytochrome *b* (Akimoto et al. 2006) ; ○ spécimens *B. splendens* déterminés à l'espèce à partir du nombre de caeca pyloriques ; ■ spécimens *B. mollis* MNHN 2003-1235 à 1239 et MNHN 2003-1241 (respectivement, nos. 2-6 et 8 de la présente étude), déterminés à l'espèce à partir des séquences du gène du cytochrome *b* ; □ spécimens *B. mollis* MNHN 2005-1948 et 1949 (respectivement, nos. 30 et 94 de la présente étude) déterminés à l'espèce à partir du nombre de caeca pyloriques ; ○ autres individus. **B** Représentation d'un sous-échantillon de 45 individus mesurés selon 6 caractères méristiques : *DFs*, *PF*, *PFs*, *AFs*, *GR* et nombre d'écailles sur la ligne latérale (*LL*). ● voir ci-dessus ; ■ voir ci-dessus ; □ voir ci-dessus ; ○ voir ci-dessus. **C** Représentation de 43 individus pêchés dans les eaux japonaises et caractérisés pour 5 caractères méristiques : *DFs*, *PF*, *PFs*, *AFs*, *GR*. *m* individu moyen de chaque espèce fabriqué à partir des données univariées de Yoshino et al. (1999) ; *b* holotype de *B. mollis* (Abe 1959) ; symboles pleins individus identifiés à l'espèce par leur séquence ADNmt (S.A. et S.W.) ; cercles rouges *B. splendens* ; carrés noirs *B. mollis*. **D** Représentation de 136 individus pêchés dans le Pacifique ouest (Japon et Nouvelle-Calédonie) et caractérisés pour 5 caractères méristiques : *DFs*, *PF*, *PFs*, *AFs*, *GR*. Cercles rouges *B. splendens* ; carrés noirs *B. mollis* ; les symboles au contour épais représentent 2-8 points superposés. **A**, **B**, **C** et **D** : Les enveloppes délimitent deux nuages de points distincts, interprétés comme étant *B. splendens* (en rouge) et *B. mollis* (en noir)

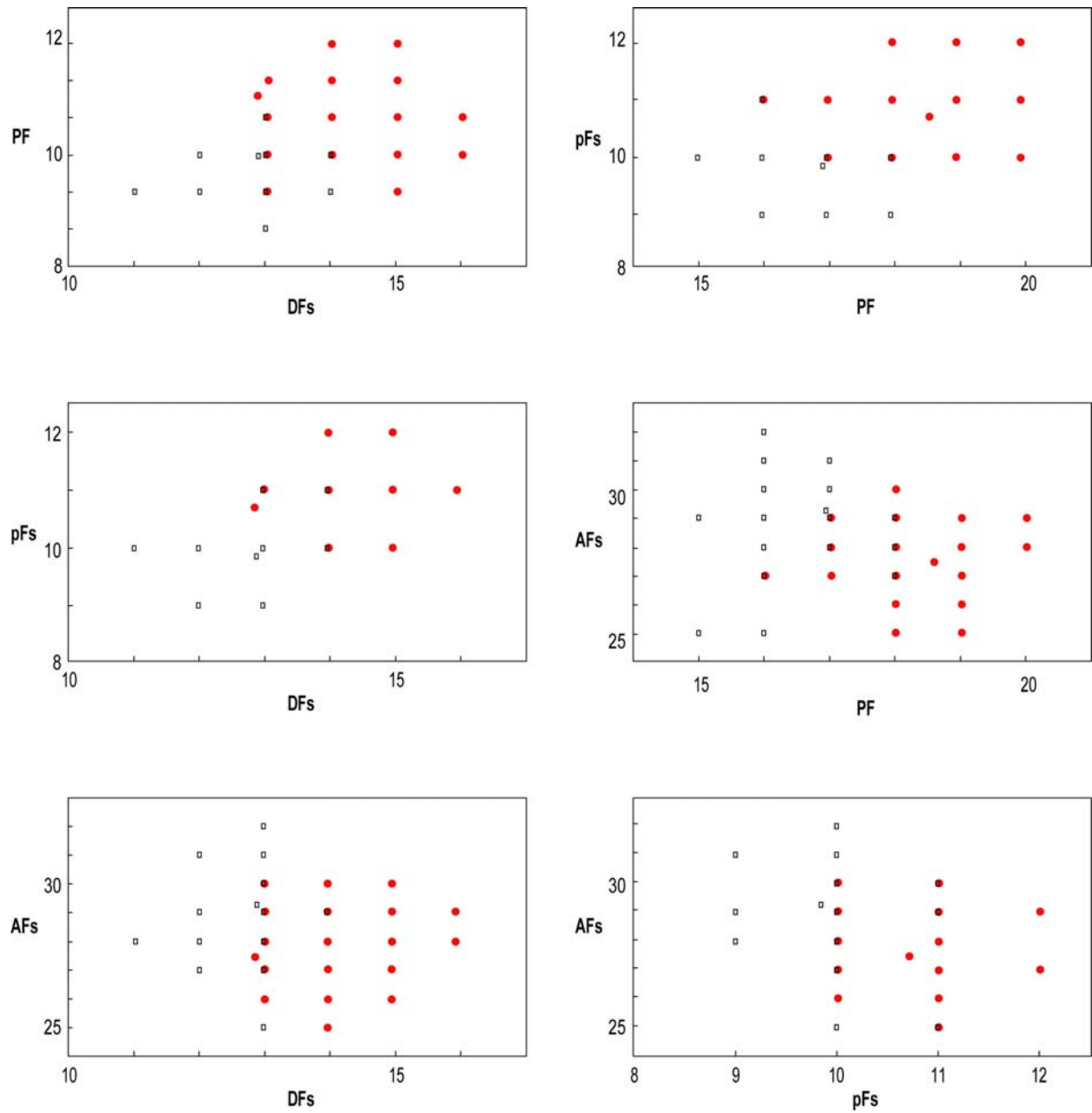


Fig. 11 *Beryx mollis* et *B. splendens* du Japon et de la Nouvelle-Calédonie. Distribution des individus définis selon quatre caractères méristiques externes (*DFs*, *PF*, *pFs* et *AFs*) pris deux à deux. ● Individus *B. splendens* ($N = 125$) ; □ individus *B. mollis* ($N = 31$). Les points superposés au sein de chaque espèce n'ont pas été indiqués.